

اثر نوسان شبهدوسالانه بر شکست امواج راسی اروپا و غرب آسیا از دیدگاه فعالیت موج

محمدمهری خدادی^۱، مجید آزادی^{۲*}، محمد مرادی^۲ و عباس رنجبر سعادتآبادی^۲

۱. دانشجوی دکتری، پژوهشگاه هواشناسی و علوم جو، تهران، ایران

۲. دانشیار، پژوهشگاه هواشناسی و علوم جو، تهران، ایران

(دریافت: ۹۹/۵/۳۱، پذیرش نهایی: ۹۹/۷/۸)

چکیده

دراین مطالعه با استفاده از میانگین روزانه داده‌های بازتحلیل ERA-Interim برای ارتفاع ۵۰۰پتانسیلی، دما، تاوایی نسبی و سرعت باد در ترازهای ۳۰۰، ۲۰۰، ۱۵۰، ۱۰۰ و ۵۰ هکتوپاسکال، کمیت‌های فعالیت موج و شارفالیت موج در شکست‌های واچرخندی و چرخندی امواج در فازهای شرقی و غربی نوسان شبهدوسالانه QBO (Quasi Biennial Oscillation) در زمستان دوره ۱۹۷۹-۲۰۱۸ محاسبه و بررسی شده‌اند.

نتایج نشان داد که در شکست واچرخندی و فاز غربی QBO، تقویت جت‌حاره غربی وابسته به QBO روی اقیانوس اطلس، موجب جابه‌جایی استواسوی جت جنوب‌حراره به عرض‌های پایین‌تر می‌شود. بدین‌ترتیب جت جنوب‌حراره در پایین‌دست ناوه (شمال‌شرقی-جنوب‌غربی) روی شمال‌غرب آفریقا با جت عرض‌میانی ترکیب می‌شود و ناوه در عرض‌پایین‌تری روی غرب دریای مدیترانه تقویت و شیب محور شمال‌شرقی-جنوب‌غربی آن نسبت به فاز شرقی بیشتر می‌شود. درنتیجه شار استواسوی فعالیت موج ناشی از شکست واچرخندی ناوه، در فاز غربی قوی‌تر از فاز شرقی QBO است. در شکست چرخندی امواج روی اروپا جت‌حاره شرقی وابسته به QBO، روی جنوب اقیانوس اطلس تا جنوب‌آفریقا تقویت می‌شود. در شکست چرخندی امواج و فاز شرقی QBO، ناوه روی شرق دریای مدیترانه در عرض‌های بالاتری تقویت و شیب محور شمال‌غربی-جنوب‌شرقی ناوه نسبت به فاز غربی بیشتر می‌شود. بدین‌ترتیب شار قطب‌سیوی فعالیت موج ناشی از شکست چرخندی نسبت به فاز غربی بیشتر است. درنتیجه علاوه براینکه تعداد شکست امواج روی اروپا در فاز‌شرقی تقریباً نصف تعداد آن در فاز‌غربی QBO است، شکست واچرخندی (چرخندی) امواج روی اروپا در فاز‌شرقی QBO، ضعیف‌تر (قوی‌تر) از فاز‌غربی QBO است.

واژه‌های کلیدی: شکست واچرخندی امواج، شکست چرخندی امواج، شار فعالیت موج، نوسان شبهدوسالانه، تاوه قطبی.

۱. مقدمه

اسکیف، ۲۰۰۹؛ آستنی و همکاران، ۲۰۱۵). هولتون و تن (۱۹۸۰) نشان دادند که در زمستان نیمکره شمالی جت شبانه قطبی PNJ (Polar Night jet) و فاز غربی QBO همبستگی مثبت دارند و در فاز شرقی ارتفاع تاوه قطبی بیشتر است. مکین‌تایر و پالمر (۱۹۸۳) با استفاده از داده‌های ماهواره‌ای، عامل اصلی گرم شدن پوشن‌سپهر را شکست امواج راسی ناشی از منفی‌شدن شیب نصف‌النهاری تاوایی پتانسیلی در لبه تاوه معرفی کردند. در سال ۱۹۸۹ اوسلیوان و سالبی نشان دادند که لبه تاوه قطبی در فاز شرقی QBO بسیار پر نوسان و در فاز غربی آرام و صاف است. خط باد مداری صفر در فاز شرقی در نیمکره زمستانی قرار می‌گیرد و سبب تأثیر پیچک‌ها روی تاوه

نوسان شبهدوسالانه (QBO) بیانگر وجود جریان‌های شرقی و غربی منظم در نمایش قائم حاره پوشن‌سپهر می‌باشد. این جت‌ها به طور یکپارچه طی مدت حدود دو نیم سال از پوشن‌سپهر زبرین به پوشن‌سپهر زیرین حرکت کرده و میرا می‌شوند. هرچند این نوسان بلندمدت است ولی بر اثر جذب امواج بالاوسو با طول موج کوتاه در ترازهای بحرانی پوشن‌سپهر ایجاد می‌شود. جذب امواج گرانی-لختی، فاز شرقی QBO و جذب امواج کلوین، فاز غربی QBO را تقویت می‌کند. جذب امواج راسی و امواج گرانی غرب‌سو نیز سبب شکل‌گیری فاز شرقی QBO می‌شود (والاس و همکاران، ۱۹۹۳؛ هیتز و مکین‌تایر، ۱۹۹۷؛ بالدوین و همکاران، ۲۰۰۱؛ مارشال و

در فاز غربی نسبت به فاز شرقی QBO در تراز ۵۰ hPa قوی‌تر هستند. در بهاره‌ردو نیمکره و QBOe در ترازهای ۲۰–۱۰ hPa، جت شبانه قطبی قوی‌تر است. در پاییز دو نیمکره و QBow در ترازهای ۴۰–۳۰ hPa، جت قطبی ضعیف‌تر است.

شواهد نشان می‌دهد که اثر QBO بر تاوه قطبی فقط به ترازهای بحرانی مربوط نمی‌شود بلکه چرخش نصف‌النهاری برای حفظ توازن باد گرمایی ناشی از QBO نیز عامل مهمی در اترگذاری روی تاوه قطبی می‌باشد. OLR کلیمور و همکاران (۲۰۰۳) با استفاده از داده‌های Outgoing Longwave Radiatin (Outgoing Longwave Radiatin) و شاخص بازتاب ابر (Highly reflected cloud index) میزان همرفت را در فازهای مختلف QBO طی ۲۳ سال بررسی کردند و به این نتیجه رسیدند که تقویت گردش ثانویه ناشی از QBOe سبب افزایش دما، صعود هوا و افزایش ارتفاع ژئوبیتانسیلی در نواحی حاره می‌شود و بهمراه آن رشد ابرهای همرفتی در حاره افزایش و در جنوب حاره کاهش می‌باشد. گارفینکل و هارتمن (۲۰۱۱) با استفاده از برونداد مدل اقلیمی جوی Whole Atmospheric (WACCM) موسوم به Community Climate Modeel شبیدوسالانه QBO را بر وردسپهر شبیه‌سازی کردند و نشان دادند که در فاز شرقی نوسان شبیدوسالانه نفوذ پیچک‌ها به وردسپهر زیرین سبب بی‌هنگاری سرعت باد در جنوب حاره می‌شود. بیشترین تأثیر گردش نصف‌النهاری ناشی از جت QBO در ناحیه خروجی جت جنوب حاره اقیانوس آرام می‌باشد و در نواحی‌ای که این گردش شکل می‌گیرد برهم‌کنش آن با امواج گذرا در وردسپهر زیرین مطرح می‌شود. اسبقی و همکاران (۲۰۱۶) با استفاده از داده‌های بازتحلیل NCEP/NCAR مؤلفه‌های مختلف گرایش انرژی جنبشی پیچکی را در فازهای مختلف QBO محاسبه و بررسی کردند. نتایج آنها نشان داد که فاز غربی QBO تأثیر مشخصی در افزایش انرژی جنبشی پیچکی در مسیر توفان مدیترانه در اوایل زمستان (نوامبر و دسامبر) دارد. وايت و همکاران (۲۰۱۵) نشان دادند که

می‌شود در حالی که در فاز غربی در نیمکره تابستانی و دور از تاوه قطبی قرار می‌گیرد. دانکرتون و بالدوین (۱۹۹۱) با استفاده از ۲۵ سال داده‌های مرکز ملی هواشناسی آمریکا (National Meteorological Center) NMC شار الیاسین-پالم امواج سیاره‌ای را محاسبه و برهم‌کنش بین امواج در جنوب حاره و نوسان شبیدوسالانه QBO را بررسی کردند. آنها نشان دادند که شار الیاسین-پالم امواج در پوشن‌سپهر زیرین تحت تأثیر فازهای QBO تغییر می‌کند و همگرایی شار در فاز شرقی در عرض‌های میانی و در فاز غربی در جنوب حاره بیشتر است. هولتون و آستین (۱۹۹۱) نشان دادند که سبب جابه‌جایی سطوح بحرانی و در نتیجه موجب تغییر میزان جذب یا عبور امواج راسی در عرض‌های جنوب حاره می‌شود. به‌گونه‌ای که در فاز شرقی QBO، خط صفر سرعت مداری در جنوب حاره زمستانی قرار می‌گیرد و شکست امواج راسی در نیمکره شمالی بیشتر می‌شود. اسیلوان و یانگ (۱۹۹۲) با استفاده از شبیه‌سازی‌های عددی نشان دادند که برهم‌کنش امواج راسی با جریان میانگین حاره سبب جفت‌شدگی بین حاره و جنوب حاره می‌شود و در فاز شرقی QBO و جنوب حاره QBOe QBO و جنوب حاره می‌شود و در فاز شرقی QBO جریان حاره شرقی سبب تضعیف امواج راسی و جابه‌جایی قطب‌سوی آنها نسبت به QBow می‌شود. هیچمن و هاسمن (۲۰۰۶) با استفاده از داده‌های بازتحلیل UKMO و NCEP، شبیه‌سازی نصف‌النهاری تاوانی پتانسیلی را در ترازهای همدماهی ۱۶۰۰–۳۲۰ K در سالهای ۱۹۷۹–۲۰۰۵ محاسبه و هفت ناحیه مجزا با بیشترین فرکانس شکست را برای کل کره مشخص کردند. از جمله این نواحی سمت قطب‌سو و استواسوی جت جنوب حاره در وردسپهر و جت قطب‌سو در پوشن‌سپهر است که منفی شدن شبیه‌سازی نصف‌النهاری تاوانی پتانسیلی در دوطرف جت‌های غربی سبب شکست امواج در این نواحی می‌شود. آنها در سال ۲۰۰۹ تأثیر QBO را بر شکست امواج بررسی کردند و نشان دادند فرکانس و شدت شکست امواج در فازهای مختلف QBO، در هر فصل نیمکره‌های شمالی (NH) و جنوبی (SH) متفاوت است. جت‌های شبانه قطبی در زمستان NH،

نواحی اقیانوس اطلس و مدیترانه مقایسه می‌شود. در فصل پنجم با استفاده از ارتفاع و باد افقی تراز ۵۰ hPa در شکست‌های واچرخندی و چرخندی امواج روی اروپا در فازهای شرقی و غربی QBO، تفاوت این کمیات بین فازهای شرقی و غربی محاسبه و تحلیل می‌شود و در فصل ششم بحث و نتیجه‌گیری آمده است.

۲. داده‌ها و روش تحقیق

داده‌های مورد استفاده برای انجام مطالعه حاضر، داده‌های بازتحلیل ERA-Interim با تفکیک افقی 0° - 75° (کالنی و همکاران، ۱۹۹۶) برای ساعت ۱۲UTC Nov-۱۵ Apr (۱۵) در بازه زمانی ۱۹۷۹-۲۰۱۸ می‌باشد که از مرکز اروپایی پیش‌بینی میان‌مدت وضع هوا (ECMWF) تهیه شده است. همچنین شاخص‌های مربوط به ترازهای مختلف QBO از وبگاه دانشگاه برلین (<http://www.geo.fu-berlin.de/met/ag/strat/>) و سازمان فضایی آمریکا (<produkте/qbo/qbo.dat>) و سازمان فضایی NASA (https://acd-ext.gsfc.nasa.gov/Data_services/met/) ([qbo/qbo.html](#)) دریافت شده است.

کمیت‌های فعالیت موج (A) و شار فعالیت موج (F)، شاخص شکست امواج ($i(\lambda, t)$) برای شکست واچرخندی و چرخندی امواج در ناحیه مدیترانه (E)، در سال‌های ۱۹۷۹-۲۰۱۸ با استفاده از روابط اسلر و هینز (۱۹۹۹) به صورت زیر تعریف می‌شوند:

$$A = \frac{a \cos(\varphi) \left(q_e^2 - \frac{\xi^e q_\lambda^e}{a \cos \varphi} \right)}{4Q_\varphi^0} \quad (1)$$

در معادله ۱ فعالیت موج (A) بر حسب توان دوم تاوایی پتانسیلی پیچکی شبه‌زمینگرد (q^e) و مشتق مداری آن (Q_φ^0 ، مشتق نصف النهاری میانگین تاوایی پتانسیلی (q_λ^e) و شعاع زمین (a) بیان شده است که در آن شبیه مداری تاوایی پیچکی (ξ^e_x) از بی‌هنجری تاوایی پتانسیلی پیچکی $-\bar{q}^e$ بدست می‌آید. شار فعالیت موج نیز از

چرخش نصف‌النهاری ناشی از QBOe موجب جابه‌جای قطب‌سوی جت جنوب‌حراره می‌شود که در نتیجه سبب انعکاس امواج راسی به عرض‌های میانه است. جذب امواج راسی در عرض‌های میانی سبب گرم شدن و تضعیف تاوه قطبی در QBOe می‌شود. دانسیگون و شاو (۲۰۱۵) با استفاده از داده‌های بازتحلیل ERA-Interim شار پیچکی گرما و مؤلفه قائم شار فعالیت امواج بلند را در دو حالت تاوه قطبی ضعیف و قوی محاسبه کردند و نشان دادند که در حالت تاوه قطبی ضعیف (قوی) شار پیچکی گرما قطب‌سو (استواسو) و مؤلفه قائم شار فعالیت موجی بالاسو (پایین‌سو) است و در طول زمستان بی‌هنجری ارتفاع تاوه قطبی سبب بی‌هنجری ارتفاع و دما در دوره‌سپهر می‌شود (عباس‌زاده اقدم و همکاران، ۱۳۹۲؛ شاو و پرلویتز، ۲۰۱۴؛ ساندرو و همکاران، ۲۰۱۶).

شناخت عوامل مؤثر بر فعالیت امواج راسی همچون شکست امواج در فازهای مختلف QBO می‌تواند علت تقویت و تضعیف امواج و میزان تأثیر آنها بر ترازهای زیرین را برای منطقه خاورمیانه واضح تر کند. در این تحقیق تأثیر جت حراره وابسته به QBO در تراز ۵۰ hPa، بر شکست واچرخندی (چرخندی) امواج گذرا در لایه ۳۰۰-۱۵۰ هکتوپاسکال در عرض N^{50-20} روی منطقه اروپا و دریای مدیترانه (E^{30-0}) بررسی می‌شود. به این منظور ابتدا در فصل دوم داده‌ها و روش تحقیق بیان می‌شود. فصل سوم کمیت‌های ارتفاع ژئوپتانسیلی، سرعت مداری در تراز ۲۰۰ هکتوپاسکال، مؤلفه‌های افقی و قائم شار فعالیت موج و همگرایی آن در لایه $300-150$ هکتوپاسکال، در شکست‌های واچرخندی و چرخندی امواج روی اروپا در فاز شرقی (QBOe) و تفاضل آن از فاز غربی (QBOw)، یا همان QBOe-QBOw محاسبه و بررسی می‌شود. فصل چهارم میانگین شار نصف‌النهاری که از سطح مقطع N^{40} ، در ناحیه شکست (E^{30-0}) و ($hPa^{150-300}$) عبور می‌کند حساب می‌شود و سپس این مقدار برای شکست امواج در هفت ناحیه مختلف اقیانوس اطلس و مدیترانه محاسبه و شکست امواج در

رابطه زیر محاسبه شده است (پالمر، ۱۹۸۱؛ زو و همکاران، ۲۰۰۸):

$$F = \frac{a \cos \phi}{2} \left[\begin{array}{l} \frac{2U^0 A}{a \cos \phi} + \frac{1}{2} (\psi^e q^e - v^e \xi^e) + v^{e^2} - \frac{\psi^e v_\lambda^e}{a \cos \phi} \\ - u^e v^e + \frac{\psi^e u_\lambda^e}{a \cos \phi} \\ \frac{f}{\Theta_p^0} \left(v^e \theta^e - \frac{\psi^e \theta_\lambda^e}{a \cos \phi} \right) \end{array} \right] \quad (2)$$

که در آن (F) شار فعالیت موج، بر حسب مؤلفه های پیچکی کمیت های سرعت مداری (u^e)، سرعت نصف النهاری (v^e)، تابع جریان موج (ψ^e)، بی هنجاری تاوایی پتانسیلی پیچکی (ξ^e) و دمای پتانسیلی (θ^e) به دست می آید. شاخص شکست امواج نیز به صورت زیر است (ادمون و همکاران، ۱۹۸۰؛ اندروز و همکاران، ۱۹۸۷):

$$i(\lambda, t) = \left\langle \int_{\phi, p} F_+^\phi \right\rangle \int_{\phi, p} F_+^\phi - \left\langle \int_{\phi, p} F_+^\phi \right\rangle_{\phi, p} \int_{\phi, p} F_-^\phi \quad (3)$$

در معادله ۳، F_+^ϕ انتگرال شار قطب سو و F_-^ϕ انتگرال شار استواسوی فعالیت موج در عرض های 50° -۲۰ N در لایه ۱۵۰-۳۰۰ هکتوپاسکال می باشد.
 $< >$ نشان دهنده میانگین مداری در طول مسیر انتشار موج ها روی منطقه مدیترانه (۳۰-۰E) می باشد. در این تحقیق هر گاه مقدار $i(\lambda, t)$ کمتر (بیشتر) از ۲-۲ (۲) باشد شکست واچرخندی (چرخندی) در نظر گرفته می شود. در این پژوهش ابتدا با استفاده از پالایه بالا گذار لنکزووس (Lanczos filter) داده های مربوط به امواج بلند ایستا با عدد موج مداری ۱ و ۲ حذف شده اند و سپس کمیت های ارتفاع رُئوپتانسیلی، دما، سرعت باد مداری، فعالیت موج، مؤلفه افقی بردار شار فعالیت موج (F_ϕ ، F_λ)، همگرایی شار فعالیت موج در تراز ۲۰۰ هکتوپاسکال و متوسط قائم این کمیت ها در لایه ۱۵۰-۳۰۰ هکتوپاسکال در هر دو شکست واچرخندی و چرخندی امواج در فاز های مختلف QBO بررسی شدند و با استفاده از اختلاف کمیت ها در

فاز های شرقی نسبت به فاز غربی QBOe-QBOW، QBO، تأثیر جت حاره وابسته به QBO بر شکست امواج بررسی شد. سپس تصویر قائم شار فعالیت امواج در فاز های متفاوت QBO تحلیل شد و تغییر شار فعالیت موج در عرض های میانی (50° -۲۰ N) ناشی از شکست امواج در فاز شرقی نسبت به فاز غربی QBO بررسی شد و مقدار شار فعالیت موج در N ۴۰ برای شکست امواج در مدیترانه با شکست امواج در اطلس شمالی مقایسه شد. در انتهای با استفاده از باد مداری در تراز ۵۰ هکتوپاسکال، وضعیت تاوه قطبی در شکست های واچرخندی و چرخندی در فاز های متفاوت QBO بررسی شد.

در این دوره آماری تعداد ۶۸ (۴۵) مورد شکست واچرخندی (چرخندی) امواج همدیدی در ناحیه دریای مدیترانه به دست آمد که (۴۵) ۳۰ مورد در فاز غربی و (۱۵) مورد در فاز شرقی QBO اتفاق افتاده است. بنابراین میانگین روزانه کمیت ها بر اساس تعداد رخداد شکست های واچرخندی و چرخندی در فاز های غربی و شرقی استفاده شده است. برای شکست واچرخندی در فاز شرقی میانگین ۲۳ مورد و در فاز غربی میانگین روزانه ۴۵ مورد استفاده شده است، در حالی که در شکست چرخندی، میانگین ۳۰ مورد برای فاز غربی و ۱۵ مورد برای فاز شرقی به کار گرفته شده است.

۳. تحلیل کمیت های دینامیکی در وردسپهر زیرین در فاز های شرقی و غربی QBO

۳-۱. میانگین ارتفاع و باد مداری تراز ۲۰۰ هکتوپاسکال

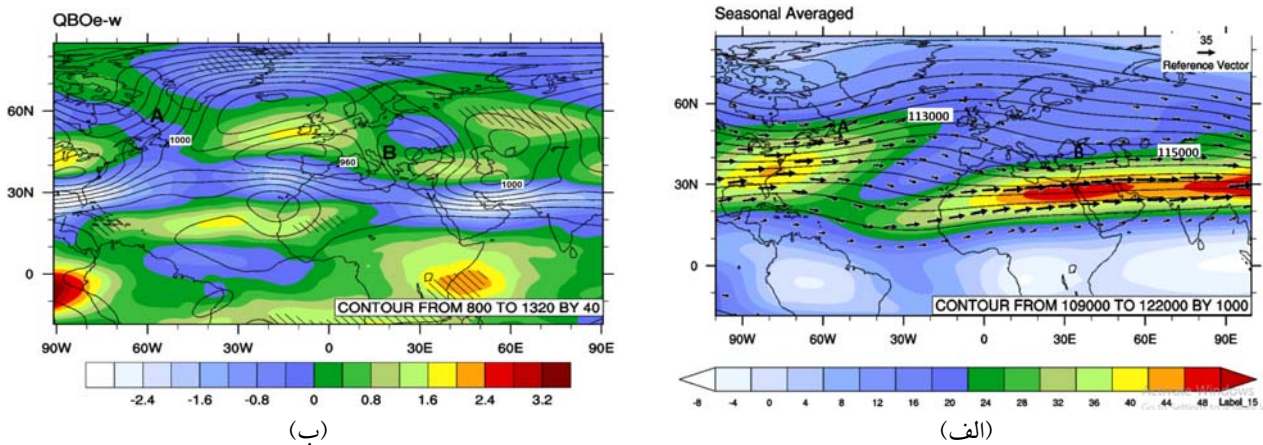
مطابق شکل ۱-الف میانگین فصلی در ماه های (نومبر تا مارس) بین سال های ۱۹۷۹-۲۰۱۸ ناوه A روی آمریکای شمالی، یک پشته روی اقیانوس اطلس و ناوه B روی اروپا و دریای مدیترانه استقرار دارد. در عرض های ۳۰-۲۰ N جت جنوب حاره در پایین دست ناوه A روی آمریکای مرکزی با بیشینه سرعت m/s ۴۵ و همچنین در پایین دست ناوه B روی شمال آفریقا، شمال عربستان و جنوب ایران با

در فاز شرقی QBO نسبت به فاز غربی، ناووهای A و B ضعیف ترند و حدود ۲ تا ۵ درجه به عرض بالاتر جابه جا می شوند. به همراه آن سرعت جريان افقی در عرض های میانی تقویت می شود. همچنین در QBOe، تقویت جت حاره شرقی وابسته به QBO باعث تقویت گردش نصف النهاری ناشی از حفظ توازن بادگرمایی وابسته به جت حاره شرقی می شود. مطابق نتایج شفرد (۲۰۱۴) در ناحیه مدیترانه و غرب آسیا نیز تقویت گردش نصف النهاری در فاز شرقی QBO، به نوبه خود باعث تضعیف سرعت در جت های جنب حاره در عرض های N ۳۰-۲۰ (حدود ۲ تا ۵ m/s) و تقویت جت های در عرض های بالاتر می شود (شکل ۱-ب). از طرفی با توجه به شکل های ۱-الف و ب در فاز شرقی نسبت به فاز غربی QBO جريان حاره شرقی در ناحیه جنوب غرب اقیانوس هند حدود ۳ m/s تضعیف و دو واچرخند در ناحیه استوایی روی جنوب شبه قاره هند و جنوب آفریقا از هم دور می شوند. در نتیجه در فاز شرقی QBO جت های جنب حاره روی شمال عربستان و شبه قاره هند نسبت به میانگین فصلی خود از یکدیگر فاصله می گیرند و جت جنب حاره در پایین دست ناوه B روی شمال عربستان و شمال شرق آفریقا تقویت می شود. در فاز غربی QBO جت جنب حاره روی شمال عربستان و جنوب ایران تقویت می شود (شکل ها ارائه نشده است).

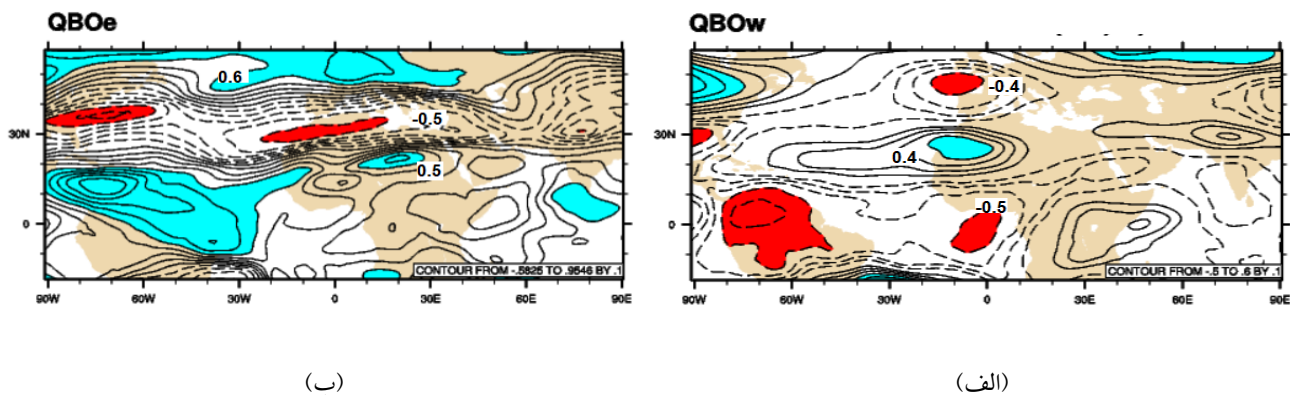
در تفاضل دو فاز، واچرخند در جنوب آمریکا نیز تضعیف و به سمت غرب جابه جا می شود و به همراه آن جت جنب حاره در پایین دست ناوه A روی آمریکای مرکزی تضعیف و به سمت غرب جابه جا می شود و روی اقیانوس اطلس در عرض های پایین (۲۵-۱۵N)، سرعت جريان غربی حدود ۲ متربر ثانیه تقویت می شود. جابه جایی قطب سوی جت ها و افزایش ارتفاع رئوپتانسیلی در فاز شرقی نسبت به فاز غربی QBO توسط آزمون معنی داری (t-test) مورد بررسی قرار گرفت.

بیشینه ۵۰ m/s و روی شبه قاره هند با بیشینه ۵۵ m/s وجود دارد. شکل گیری سه جت حاره شرقی در جنوب جت های جنب حاره، نشان دهنده استقرار سه واچرخند در این ناحیه ها می باشد. با توجه به شکل ۲-الف در فاز غربی QBO، همبستگی بین جت حاره غربی وابسته به QBO در تراز ۵۰ hPa و جت های جنب حاره در تراز ۲۰۰ hPa در عرض های حدود N ۳۰-۲۰ مثبت است. روی شرق اطلس و شمال غرب آفریقا (ناحیه رنگی در شکل ۲-الف) سطح اعتماد برای همبستگی بالاتر از ۹۵ درصد می باشد و همراه با تقویت QBow، جت جنب حاره در وردسپهر بالای نیز تقویت می شود ولی در عرض های بالاتر روی غرب مدیترانه و شرق اطلس همبستگی منفی است و جريان مداری تضعیف می شود. در حالی که با توجه به شکل ۲-ب در فاز شرقی QBO، در عرض های N ۳۰-۲۰ همبستگی بین جت حاره شرقی وابسته به QBO و جت جنب حاره تراز ۲۰۰ hPa منفی است. در ناحیه شرق اطلس و شمال غرب آفریقا (ناحیه رنگی در شکل ۲-ب) سطح اعتماد برای همبستگی، توسط آزمون معنی داری t-test بالاتر از ۹۵ درصد محاسبه شده است (سلمون و پلوانی، ۲۰۱۶) و با تقویت QBOe، جت جنب حاره در وردسپهر بالای ضعیف می شود. ولی در عرض های بالاتر روی غرب اروپا همبستگی مثبت است و جريان مداری تقویت می شود.

با توجه به شکل ۱-ب در تفاضل دو فاز (QBOe-QBOW)، ارتفاع ناووهای A و B و پشتہ اقیانوس اطلس در تراز ۲۰۰ hPa حدود ۱۰۰ gpm افزایش می یابد. جت جنب حاره (N ۳۰-۲۰N) در پایین دست ناوه B روی شمال عربستان و جنوب ایران حدود ۴ متربر ثانیه تضعیف و سرعت افقی در عرض های بالاتر روی شرق اروپا و شمال ایران حدود ۲ متربر ثانیه تقویت می شود. در بالادرست ناوه B روی غرب دریای مدیترانه سرعت افقی کاهش و در عرض بالاتر روی غرب اروپا و شرق اقیانوس اطلس سرعت افقی حدود ۲ متربر ثانیه افزایش می یابد. در نتیجه



شکل ۱. (الف) ارتفاع (پریندها، ژئوپتانسیل)، میانگین سرعت افقی (ناحیه رنگی، متربرثانیه) و بردار سرعت (متربرثانیه) و (ب) اختلاف سرعت (ناحیه رنگی) و ارتفاع (پریندها) بین فازهای شرقی و غربی QBO در تراز ۲۰۰ hPa در سطح اعتماد در نواحی بدون هاشور بالاتر از ۹۵ درصد است.



شکل ۲. همبستگی بین سرعت در جت حاره وابسته به QBO در تراز ۲۰۰ hPa و سرعت مداری در تراز ۵۰ hPa در فازهای غربی (الف) و شرقی (ب) QBO. مقادیر مثبت و منفی به ترتیب با خط پر و خط چین نشان داده شده است. سطح اعتماد در نواحی رنگی بالای ۹۵ درصد است.

در عرض حدود 30° - 20° N جت جنوب حاره با بیشینه سرعت حدود ۵۰ متربرثانیه روی شمال آفریقا، شرق دریای مدیترانه و در عرض حدود 50° - 40° N جت عرض میانی با بیشینه سرعت حدود ۳۵ متربرثانیه روی جنوب و شرق اروپا شکل می‌گیرد. در بالادرست آن روی غرب اروپا جریان استواسو از شمال اروپا به روی غرب دریای مدیترانه تا حدود 20° متربرثانیه شکل می‌گیرد. در پایین دست ناوه C نیز جت با بیشینه سرعت ۵۵ متربرثانیه روی شبه قاره هند شکل می‌گیرد (شکل ۳).

با توجه به شکل ۳-ب در شکست چرخندی امواج و QBOe، علاوه بر ناوه‌های A و B ناوه C نیز روی شمال شرق ایران شکل می‌گیرد. در عرض حدود 30° - 25° N جنوب حاره با بیشینه سرعت حدود 60° متربرثانیه در پایین دست ناوه B روی شمال شرق آفریقا و شمال

نتایج نشان داد که در بیشتر مناطق، اختلاف میانگین سرعت و ارتفاع ژئوپتانسیل در دو فاز QBO در سطح اعتماد ۹۵ درصد است. فقط در نواحی محدودی (هاشورزده در شکل ۱-ب) مانند جنوب غرب اقیانوس هند یا شمال غرب آفریقا اختلاف‌های یاد شده معنی دار نیست.

۲-۳. ارتفاع و باد مداری تراز ۲۰۰ هکتوپاسکال در شکست امواج

در شکست واچرخندی، ناوه B (شمال شرقی-جنوب غربی) روی غرب دریای مدیترانه و اروپا و پشته در بالادرست آن در عرض بالاتری روی غرب اروپا و شرق اقیانوس اطلس شکل می‌گیرد. در پایین دست آن روی شمال عربستان و شرق مدیترانه پشته و روی شرق ایران و شبه قاره هند ناوه C شکل می‌گیرد. در پایین دست ناوه B

عربستان، جنوب ایران و افغانستان و در عرض حدود 35° - 40° N جت عرض میانی با بیشینه سرعت حدود 50° - 55° N متبرثانیه روی شمال ایران و غرب آسیا شکل می‌گیرد. در بالادست آن روی شرق اروپا جریان هوا از شمال اروپا به روی شرق دریای مدیترانه با سرعتی تا حدود 20° متبرثانیه شکل می‌گیرد. روی شمال غرب آفریقا و شرق اقیانوس اطلس در عرض حدود N 20° - 25° جت جنب حاره تا 40° متبرثانیه شکل می‌گیرد (شکل ۳).

با توجه به شکل ۴-ب در شکست واچرخندی و در فاز شرقی نسبت به فاز غربی QBO، ارتفاع ناوه B روی غرب اروپا حدود 75° ژئوپتانسیل افزایش و روی شرق مدیترانه QBOw ارتفاع پشتۀ حدود 75° ژئوپتانسیل نسبت به QBOw کاهش می‌یابد. در شکست واچرخندی و QBOw، دامنه موج‌ها افزایش یافته و ناوه B به عرض‌های پایین‌تر روی غرب مدیترانه و شمال غرب آفریقا نفوذ کرده و به همراه آن جت در پایین‌دست آن در شمال غرب آفریقا، غرب مدیترانه و جنوب اروپا تقویت می‌شود. جابه‌جایی استواسوی جت عرض میانی و ترکیب آن با جت جنب حاره سبب شده که در پایین‌دست ناوه روی جنوب اروپا و غرب دریای مدیترانه نیز سرعت، حدود 20° متبرثانیه قوی‌تر از فاز شرقی باشد (شکل‌های ۳-ج و ۴).

این در حالی است که در شکست واچرخندی و QBOe، ناوه B در عرض بالاتری روی اروپا استقرار یافته و انحراف شمال‌غربی-جنوب‌شرقی ناوه نسبت به فاز غربی کاهش می‌یابد. جت جنب حاره در پایین‌دست ناوه B در عرض حدود 20° - 35° N روی شمال شرق آفریقا و شرق دریای مدیترانه با بیشینه سرعت 45° متبرثانیه و جت عرض میانی در عرض‌های بالاتری حدود N 45° - 55° روی جنوب و شرق اروپا شکل می‌گیرد. در بالادست ناوه C نیز روی شمال عربستان و شرق دریای مدیترانه جت با سرعت بیشینه 50° متبرثانیه شکل گرفته است (شکل ۴-ب).

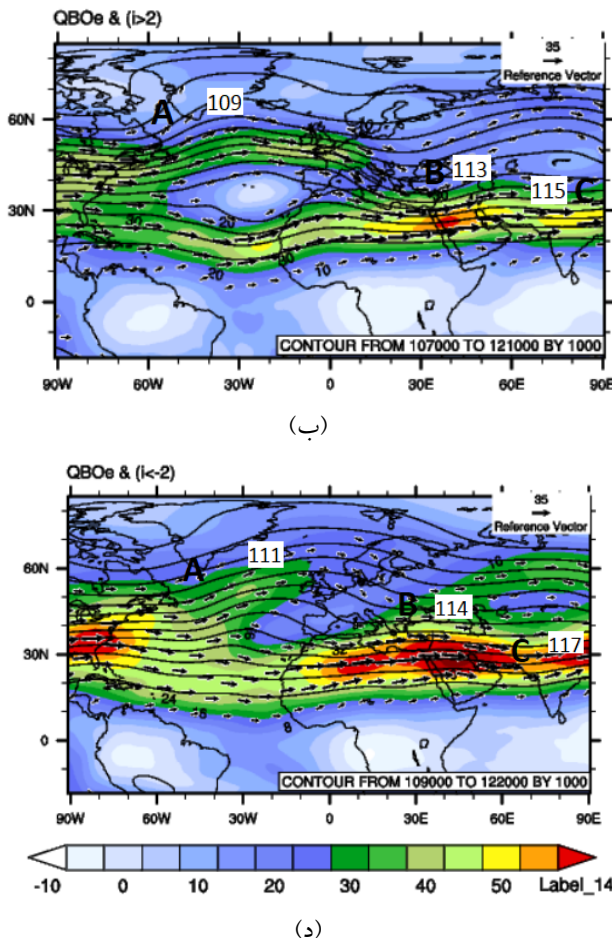
باتوجه به شکل ۴-الف در QBOe ناوه B روی شرق اروپا ارتفاع کمتری در حدود 150° ژئوپتانسیل و پشتۀ در

عربستان شکل می‌گیرد. جت عرض میانی در بالادست ناوه روی غرب اروپا در عرض حدود N 50° نیز تا 45° متبرثانیه تقویت می‌شود. روی شمال غرب آفریقا و شرق اقیانوس اطلس در عرض حدود N 20° - 25° جت جنب حاره تا 50° متبرثانیه تقویت می‌شود. اما مطابق شکل ۳-الف در QBOw نیز علاوه بر ناوه‌های A و B ناوه کم‌دامنه C نیز روی شبه‌قاره هند شکل می‌گیرد. جت در بالادست ناوه روی جنوب دریای مدیترانه و شمال آفریقا در عرض‌های حدود N 20° - 30° تا حدود 60° متبرثانیه تقویت می‌شود و جت جنب حاره در پایین‌دست ناوه C، روی شمال شبه‌قاره هند تا حدود 60° متبرثانیه شکل می‌گیرد.

مطابق شکل ۳-د در شکست واچرخندی و QBOe عرض‌های حدود N 20° - 30° در پایین‌دست ناوه B، جت جنب حاره با بیشینه سرعت حدود 45° متبرثانیه روی شمال آفریقا، و حدود 50° متبرثانیه روی شمال عربستان و غرب ایران و در عرض‌های حدود N 35° - 55° جت با بیشینه سرعت حدود 35° متبرثانیه روی جنوب شرق اروپا و شمال ایران شکل می‌گیرد. در پایین‌دست ناوه C جت با بیشینه سرعت حدود 50° متبرثانیه روی شمال شبه‌قاره هند شکل می‌گیرد و روی جنوب اقیانوس اطلس نیز در عرض حدود N 15° - 25° جت جنب حاره با سرعت حدود 35° متبرثانیه شکل می‌گیرد. با توجه به شکل ۳-ج می‌توان گفت در QBOw، علاوه بر اینکه سرعت جت جنب حاره در پایین‌دست ناوه B روی غرب دریای مدیترانه و شمال غرب آفریقا تاحدود 50° متبرثانیه می‌رسد جت عرض میانی در جنوب اروپا تا 35° متبرثانیه در امتداد جت جنب حاره (شمال‌شرقی-جنوب‌غربی) قرار می‌گیرد.

در شکست چرخندی، ناوه B (شمال‌غربی-جنوب‌شرقی) روی شرق اروپا و دریای مدیترانه و پشتۀ در بالادست آن در عرض پایین‌تری روی غرب دریای مدیترانه و شرق اقیانوس اطلس شکل می‌گیرد. در پایین‌دست آن روی شرق ایران و شمال شبه‌قاره هند پشتۀ شکل می‌گیرد. در پایین‌دست ناوه B در عرض حدود N 20° - 30° جت جنب حاره با بیشینه سرعت حدود 55° متبرثانیه روی شمال

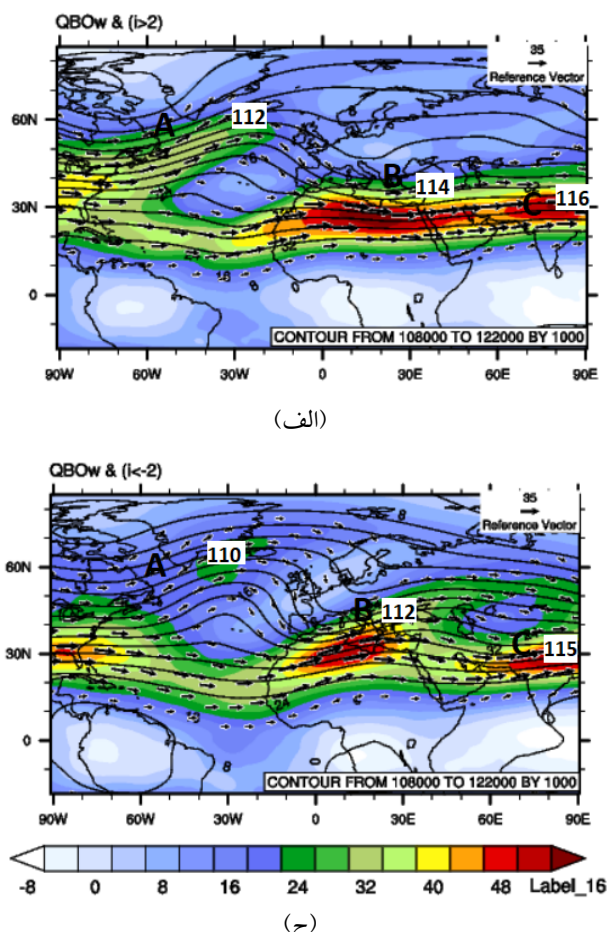
شمال غرب آفریقا و غرب مدیترانه با جابه جایی استواسوی جت عرض میانی روی غرب مدیترانه و ترکیب آن با جت جنوب حاره در این ناحیه همراه شده و درنتیجه سرعت جت در پایین دست ناوه روی شمال غرب آفریقا، غرب مدیترانه و جنوب اروپا تا حدود ۲۰ متر بر ثانیه قوی تر از جت در فاز شرقی می شود (شکل ۴-ب). مطابق شکل ۳-ب در شکست چرخندی امواج و QBOe، تقویت جت جنوب حاره در شمال شرق آفریقا و شمال عربستان با تقویت جت عرض میانی روی اروپا با محور شمال غربی-جنوب دست ناوه روی شمال غرب آفریقا، غرب مدیترانه و شرق اروپا تا حدود ۲۰ متر بر ثانیه قوی تراز جت در فاز غربی می شود (شکل ۴-الف).



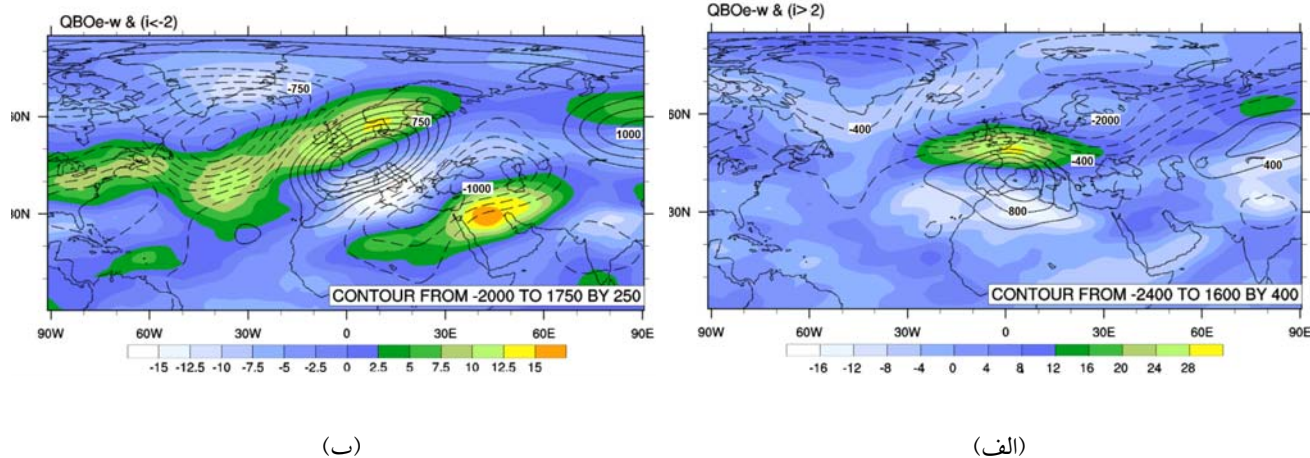
شکل ۳. میانگین پربند ارتفاع (ژئوپتانسیل)، سرعت باد (متر بر ثانیه، ناحیه رنگی) و میدان باد (بردارها) در تراز ۲۰۰ هکتو پاسکال برای شکست چرخندی (الف)، واچرخندی (ج) امواج در QBOw و شکست چرخندی (ب)، واچرخندی (د) امواج در QBOe. محورهای مختصات طول و عرض جغرافیایی بر حسب درجه می باشند.

بالادرست ناوه در عرضهای پایین تر روی غرب دریای مدیترانه ارتفاع بیشتری در حدود ۸۰۰ ژئوپتانسیل نسبت به فاز غربی دارد. به علاوه شب محور شمال غربی-جنوب شرقی آن افزایش یافته است و جت عرض میانی در بالادرست ناوه روی اروپا در عرض حدود ۵۰°N و با محور شمال غربی-جنوب شرقی تا حدود ۳۰ متر بر ثانیه و جت جنوب حاره مداری در عرض پایین تر روی شمال شرق آفریقا و شمال عربستان تا حدود ۱۵ متر بر ثانیه تقویت می شوند (شکل های ۳-الف و ب).

با توجه به شکل های ۴-الف و ب جت های جنوب حاره در فاز شرقی روی ناحیه شرق مدیترانه و در ناحیه غرب مدیترانه تقویت می شوند. مطابق شکل ۳-د شکست واچرخندی امواج و QBOw، تقویت جت جنوب حاره در



شکل ۳. میانگین پربند ارتفاع (ژئوپتانسیل)، سرعت باد (متر بر ثانیه، ناحیه رنگی) و میدان باد (بردارها) در تراز ۲۰۰ هکتو پاسکال برای شکست چرخندی (الف)، واچرخندی (ج) امواج در QBOw و شکست چرخندی (ب)، واچرخندی (د) امواج در QBOe. محورهای مختصات طول و عرض جغرافیایی بر حسب درجه می باشند.

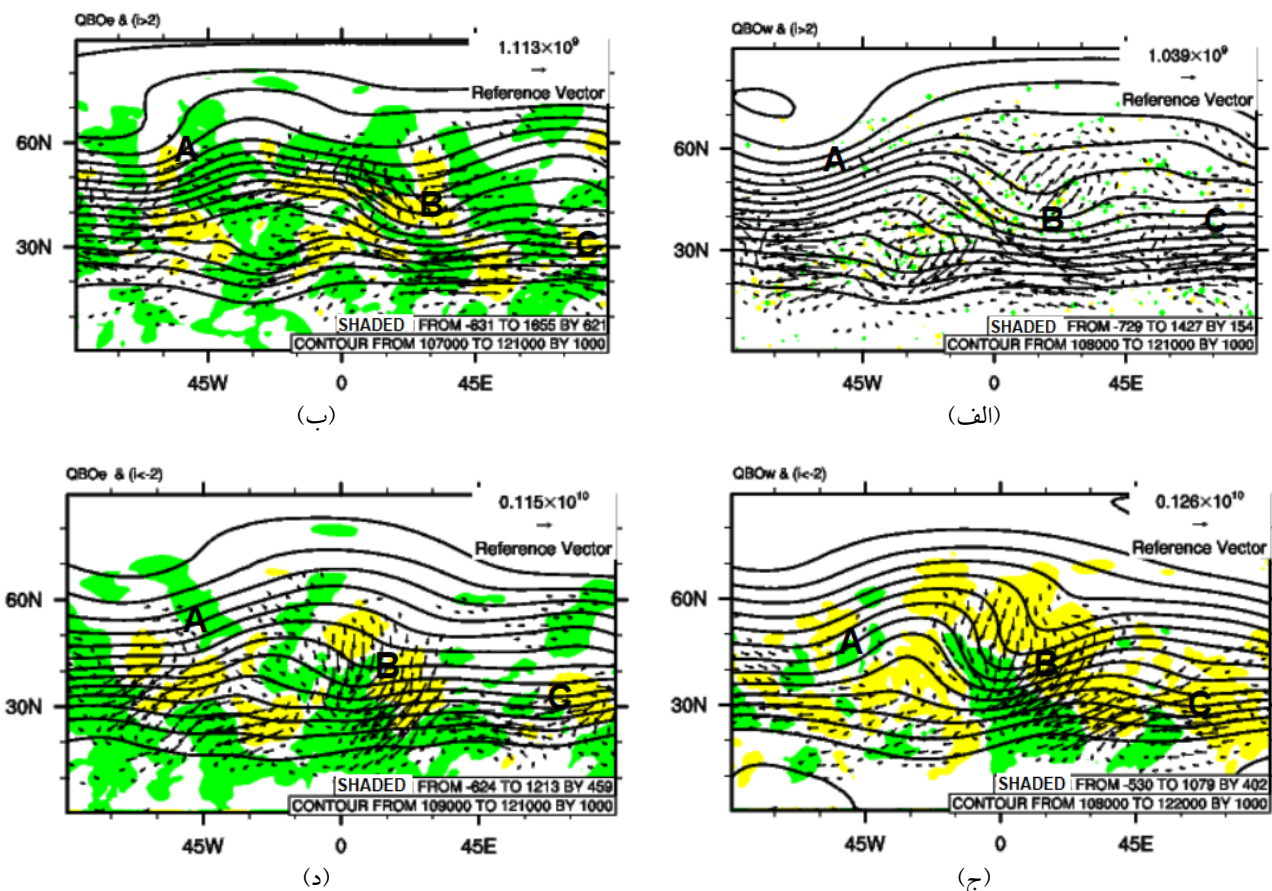


شکل ۴. اختلاف میانگین پریند ارتفاع (ژئوپتانسیل)، سرعت باد (متر بر ثانیه، ناحیه رنگی) بین فازهای شرقی و غربی QBO در تراز ۲۰۰ هکتوپاسکال (الف) در شکست چرخندی و (ب) شکست واچرخندی امواج. محورهای مختصات طول و عرض جغرافیایی بر حسب درجه می‌باشد.

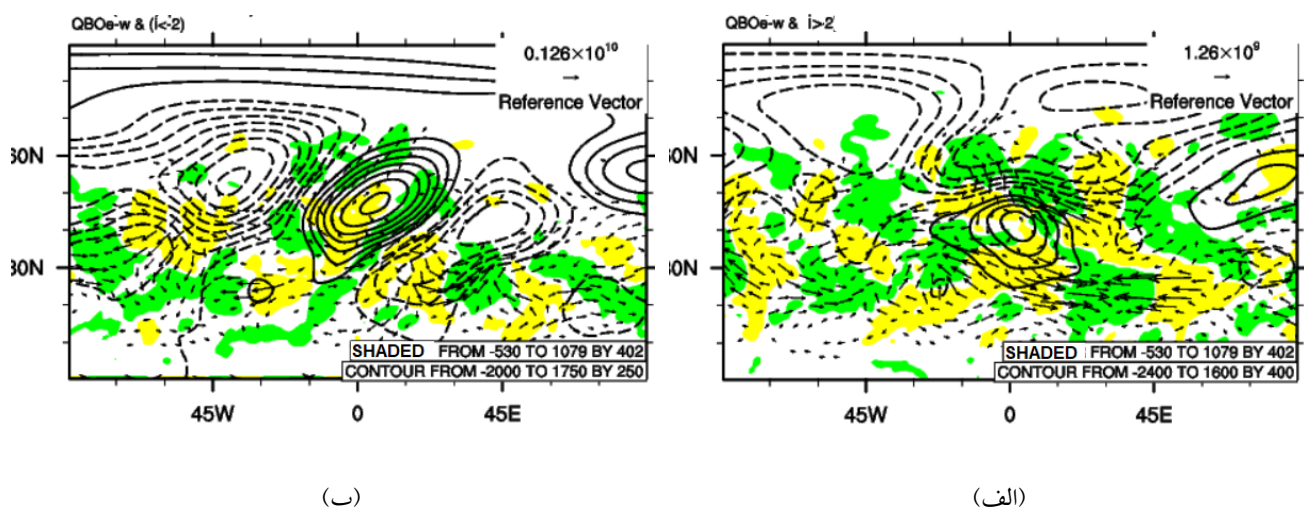
فاز غربی گسترده‌تر از فاز شرقی است. با توجه به شکل‌های ۵-الف و ب در شکست چرخندی امواج روی اروپا، ناوه B با محور شمال‌شرقی-جنوب‌غربی روی شرق اروپا همراه با واگرایی شار فعالیت موج از بالادست ناوه روی شرق و مرکز اروپا به پایین دست خود روی شمال اروپا دیده می‌شود. همچنین واگرایی ضعیفی در شار فعالیت موج به روی شرق مدیترانه و ایران (۳۵-۲۵N) وجود دارد. شار قطب‌سوی فعالیت موج در پایین دست ناوه‌های B و C در فاز شرقی گسترده‌تر از فاز غربی است. شکل ۶ اختلاف ارتفاع ژئوپتانسیلی در تراز ۲۰۰ هکتوپاسکال و اختلاف شار فعالیت موج و واگرایی آن در لایه ۱۵۰-۳۰۰ هکتوپاسکال بین دو فاز شرقی و غربی QBO برای شکست‌های واچرخندی (چرخندی) امواج است. از شکل ۶-ج (الف) می‌توان دید که در شکست‌های واچرخندی (چرخندی) امواج در فاز شرقی نسبت به فاز غربی QBO، واگرایی شار فعالیت موج از بالادست ناوه B روی شمال اروپا (مرکزوشرق اروپا) به پایین دست ناوه روی غرب دریای مدیترانه (شمال اروپا) اتفاق می‌افتد. همچنین واگرایی شار فعالیت موج از پایین دست ناوه B روی مدیترانه و همگرایی آن روی شمال عربستان و غرب ایران (۳۰-۲۰N) وجود دارد.

۳-۳. فعالیت موج در لایه ۱۵۰-۳۰۰ هکتوپاسکال

به منظور بررسی برهم‌کنش امواج با شار میانگین در موقع شکست واچرخندی و چرخندی امواج، شار فعالیت موج همراه با واگرایی و همگرایی آن در لایه ۱۵۰-۳۰۰ هکتوپاسکال در فازهای شرقی و غربی QBO در شکل ۵ نمایش داده شده است. مطابق نظر پالمر در سال ۱۹۸۱ در نواحی که شار الیاسین-پالم موج واگرا می‌شود، موج از شار میانگین، انرژی پیچکی دریافت می‌کند و تقویت می‌شود. در نواحی شار الیاسین-پالم موج همگرا می‌شود موج به شار میانگین انرژی پیچکی منتقل می‌کند و تضعیف می‌شود (هاونک و ویرس، ۲۰۰۱). همان‌گونه که از شکل‌های ۵-ج و د می‌توان دید در شکست واچرخندی امواج روی اروپا، ناوه A روی شرق آمریکا همراه با چشمی و چاهه فعالیت موج در عرض‌های حدود ۳۰-۵۰N فعال می‌باشد. شار فعالیت موجی از بالادست ناوه B روی اروپا به پایین دست ناوه روی منطقه مدیترانه وجود دارد. همگرایی شار فعالیت امواج در جنوب مدیترانه (۳۰-۲۰N) نشان‌دهنده فعالیت و میرایی این نوع موج‌ها روی شمال آفریقا می‌باشد. در عرض‌های جنوب‌حراره موج C نیز در شرق ایران فعال می‌باشد. شار استوا سوی فعالیت موج در پایین دست ناوه‌های B و C در



شکل ۵. میانگین پربند ارتفاع (ژئوپتانسیل)، در تراز ۲۰۰ هکتوپاسکال، شار فعالیت موجی ($m^2 s^{-2}$)، بردارها، واگرایی (زرد) و همگرایی (سبز) شار فعالیت موج (ms^{-2} ، ناحیه رنگی) در لایه ۱۵۰–۳۰۰ هکتوپاسکال، برای شکست چرخنده (الف)، واچرخنده (ج) امواج در QBOw و برای شکست چرخنده (ب)، واچرخنده (د) امواج در QBOe.

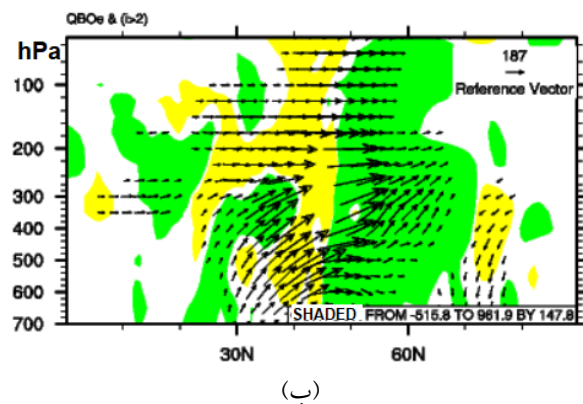


شکل ۶. اختلاف میانگین پربند ارتفاع (ژئوپتانسیل) در تراز ۲۰۰ هکتوپاسکال، شار فعالیت موجی ($m^2 s^{-2}$)، بردارها، واگرایی (زرد) و همگرایی (سبز) شار فعالیت موج (ms^{-2} ، ناحیه رنگی) در لایه ۱۵۰–۳۰۰ هکتوپاسکال بین فازهای شرقی و غربی QBO برای شکست (الف) چرخنده و (ب) واچرخنده امواج.

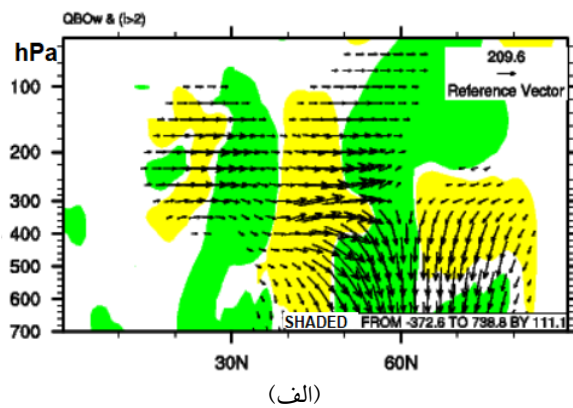
ضعیف قطب سو یا پایین سو مشاهده می‌شود. طی شکست واچرخندی امواج، در وردسپهر زیرین تا پوشن‌سپهر زیرین ۴۰۰–۵۰ هکتوپاسکال شار پایین سو و استواسوی فعالیت موج مشاهده می‌شود (شکل‌های ۷-ج و د)، در حالی که طی شکست چرخندی امواج، در وردسپهر زیرین تا پوشن‌سپهر زیرین ۴۰۰–۵۰ هکتوپاسکال شار بالاسو و قطب‌سوی فعالیت موج برقرار است. هرچند بزرگی شار فعالیت موج در شکست واچرخندی حدود ۲/۵ برابر آن در شکست چرخندی است ولی واگرایی شار فعالیت موج در فاز شرقی و شکست‌های واچرخندی (چرخندی) حدود 500 sm^{-2} کمتر (بیشتر) نسبت به فاز غربی است و به نظر می‌رسد در فاز شرقی (غربی) شکست‌های چرخندی (واچرخندی) امواج تقویت می‌شوند (شکل ۷).

۴-۳. سطح مقطع قائم شار فعالیت امواج

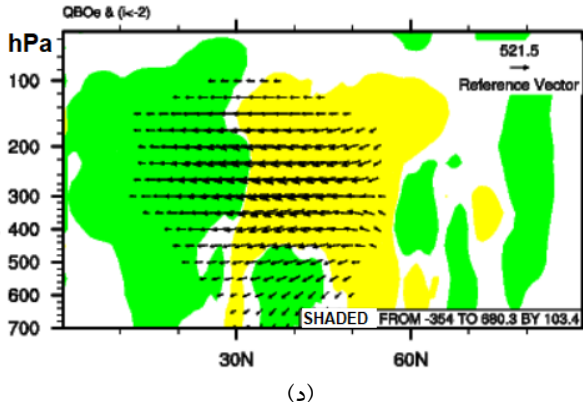
شکل ۷ شامل میانگین مداری (۳۰–۰E) سطح مقطع قائم شار فعالیت موج و واگرایی آن در لایه ۷۰۰–۵۰ هکتوپاسکال در شکست واچرخندی (چرخندی) امواج در فازهای شرقی و غربی QBO می‌باشد. همان‌گونه که از شکل‌های ۵-ب و د می‌توان دید در شکست‌های واچرخندی، واگرایی شار فعالیت موج در عرض‌های بالاتراز حدود N ۳۰ و همگرایی آن در عرض‌های جنب حاره و پایین تراز N ۳۰ مشاهده می‌شود. با توجه به شکل‌های ۷-الف و ب در شکست‌های چرخندی، شار قطب‌سوی فعالیت موج در سه ناحیه به صورت چشمی و چاهه فعالیت موج اتفاق می‌افتد. در عرض‌های میانی (N ۴۰–۶۰) قوی‌ترین شار قطب‌سوی فعالیت موج و در جنب حاره (N ۲۰–۴۰) و جنب قطب (N ۶۰–۸۰) شار



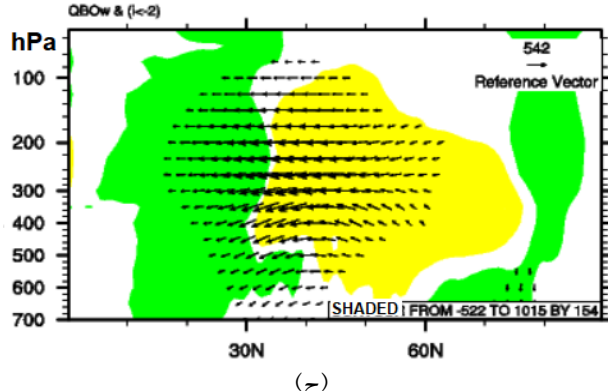
(ب)



(الف)



(د)



(ج)

شکل ۷. میانگین مداری (۳۰–۰E) سطح مقطع قائم شار فعالیت موج ($\text{m}^2 \text{s}^{-2}$) بردارها)، واگرایی (زرد) و همگرایی (سبز) شار فعالیت موج (sm^{-2} ، ناحیه رنگی) در لایه ۷۰۰–۵۰ هکتوپاسکال برای شکست چرخندی (الف)، واچرخندی (ج) امواج در QBOw و شکست چرخندی (ب)، واچرخندی (د) امواج در QBOe.

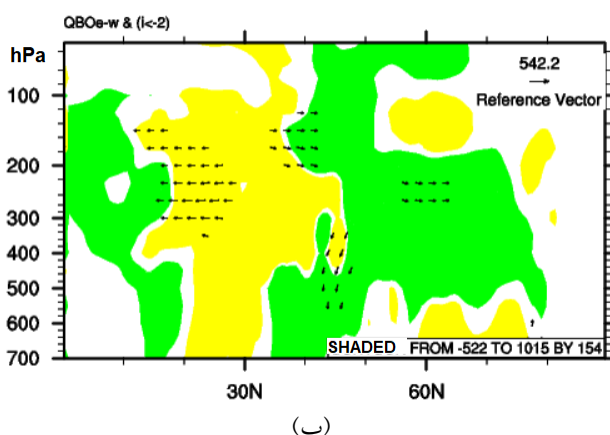
فعالیت موج به عرض‌های پایین‌تر (30° - 20° N) می‌شود. درنتیجه در شکست‌های واچرخندی و QBOe-QBOW شار فعالیت استواسوی امواج در اکثر ناحیه واگرایی (40° - 20° N) کاهش داشته و فقط در عرض‌های محدودی (25° - 20° N) افزایش می‌یابد. مطابق شکل ۷-الف شکست‌های چرخندی در فاز شرقی نسبت به فاز غربی نیز ناحیه همگرایی در عرض‌های میانی تقویت شده و همگرایی شار قطب‌سوی فعالیت موج در عرض‌های میانی افزایش می‌یابد.

۴. مقایسه شار فعالیت امواج در نواحی مختلف (60° E- 60° W)

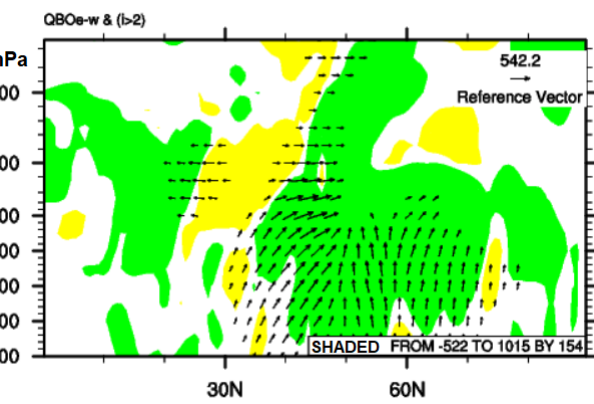
در شکل ۹ تعداد شکست واچرخندی (چرخندی) امواج در هفت منطقه از غرب اقیانوس اطلس تا غرب آسیا (60° W- 60° E) و عرض‌های (50° - 20° N) طی زمستان‌های ($15^{\text{Nov}}-15^{\text{Apr}}$) دوره چهل سال مورد مطالعه، در فازهای شرقی (ب) و غربی (الف) QBO نشان داده شده است. با توجه به شکل ۹، در این دوره روی ناحیه مدیترانه (30° - 0° E)، در فاز شرقی ۱۵ (۲۲) و در فاز غربی ۳۰ (۴۵) و در ناحیه اقیانوس اطلس (15° - 45° W) در فاز شرقی حدود ۱۷ (۲۲) و در فاز غربی ۳۵ (۵۰) شکست چرخندی (واچرخندی) رخ داده است.

شکل ۸ میانگین مداری (30° - 0° E) تصویر قائم اختلاف شار فعالیت موجی و واگرایی آن بین دو فاز شرقی و غربی نوسان QBO برای شکست واچرخندی (چرخندی) امواج است. همان‌طور که از شکل ۸ می‌توان دید، در فاز شرقی نسبت به فاز غربی، واگرایی شار فعالیت موج از عرض‌های 40° - 20° N و همگرایی آن در عرض‌های بالاتر از 40° N و عرض‌های پایین‌تر از 25° N بیشتر است. در شکست واچرخندی (چرخندی) امواج در فاز شرقی نسبت به فاز غربی، شار استواسوی (قطب‌سوی) فعالیت موج در جنوب حاره (30° - 20° N) بیشتر (کمتر) و در عرض‌های میانی (40° - 40° N) کمتر (بیشتر) است. همچنین همگرایی شار پایین‌سو (بالا‌سو) در عرض‌های میانه (60° - 30° N) در وردشپه‌زبرین بیشتر است.

با توجه به شکل ۸-ب، در شکست‌های واچرخندی هرچند ناحیه واگرایی شار فعالیت موج (40° - 20° N) در فاز شرقی گسترده‌تر از فاز غربی QBO است ولی در عرض‌های میانی (60° - 40° N) ناحیه همگرایی نیز گسترده‌تر شده است. واگرایی شار فعالیت موج در عرض‌های (40° - 30° N) سبب شار قطب‌سوی فعالیت موج و همگرایی آن در عرض‌های میانی می‌شود. به‌نظر می‌رسد تقویت همگرایی فعالیت موج در عرض‌های میانی سبب کاهش واگرایی شار

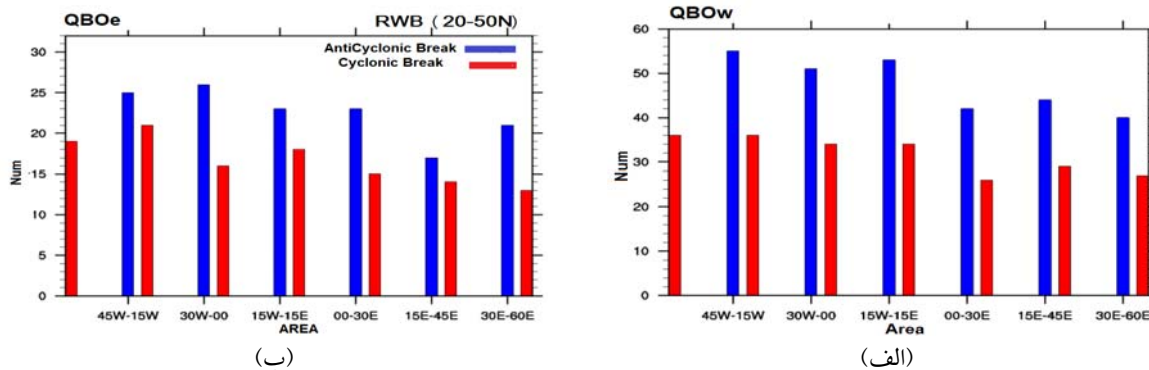


(ب)



(الف)

شکل ۸ میانگین مداری (30° - 0° E) سطح مقطع قائم اختلاف شار فعالیت موج ($\text{m}^2 \text{s}^{-3}$ ، بردارها)، واگرایی (زرد) و همگرایی (سبز) شار فعالیت موج ($\text{m}^2 \text{s}^{-3}$ ناحیه رنگی) در لایه $500-700$ هکتوپاسکال بین فازهای شرقی و غربی QBO برای (الف) شکست چرخندی و (ب) واچرخندی امواج.

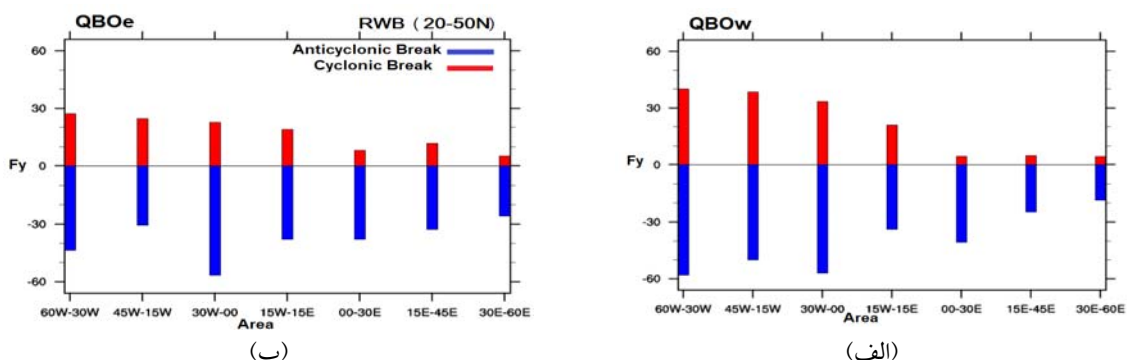


شکل ۹. تعداد شکست‌های واچرخندی (آبی) و چرخندی (قرمز) امواج طی زمستان (۱۵Nov-۱۵Apr) سال‌های ۱۹۷۹-۲۰۱۸ در فاز غربی و (ب) فاز شرقی QBO در هفت منطقه از غرب اقیانوس اطلس تا غرب آسیا (۶۰W-۳۰E).

۵۰-۲۰N، بیشتر از تعداد شکست‌های چرخندی است، شکست‌های واچرخندی قوی تر نیز هستند و شار استواسوی فعالیت موج در عرض N ۴۰ در شکست واچرخندی امواج در ناحیه مدیترانه و غرب آسیا پنج برابر و در اقیانوس اطلس دو برابر شار قطب‌سوی فعالیت موج در شکست‌های چرخندی است (شکل‌های ۱۰-الف و ب). مقایسه شکست امواج در دو ناحیه اقیانوس اطلس (۶۰W-۰) و دریای مدیترانه و غرب آسیا (۰-۶۰E) نشان می‌دهد که مقدار میانگین شار نصف‌النهاری در N ۴۰ در سه ناحیه شکست امواج روی مدیترانه و غرب آسیا کمتر از شار میانگین در چهار ناحیه روی اقیانوس اطلس است و شکست امواج روی مدیترانه و غرب آسیا ضعیف‌تر از شکست امواج روی اقیانوس اطلس است. همچنین تعداد شکست امواج در ناحیه مدیترانه و غرب آسیا در فاز غربی (شرقی) حدود ۱۰ (۵) تا کمتر از تعداد آنها روی اقیانوس اطلس است (شکل‌های ۹ و ۱۰).

به منظور مقایسه شکست امواج در عرض‌های N ۵۰-۲۰ در نواحی مختلف ۶۰W-۰E، میانگین مداری شار نصف‌النهاری در عرض N ۴۰ در لایه ۳۰۰-۱۵۰ hPa برای چهار ناحیه روی اقیانوس اطلس و سه ناحیه روی مدیترانه در فازهای شرقی و غربی QBO محاسبه و در شکل ۱۰ ارائه شده است. با توجه به شکل‌های ۱۰-الف و ب در شکست واچرخندی (چرخندی) امواج روی مدیترانه و غرب آسیا (۰-۶۰E)، میانگین شار استواسوی (قطب‌سوی) فعالیت موج (۴۰N) بر حسب واحد $m^3 s^{-3}$ حدود ۲۰۰۰، در فاز شرقی QBO حدود ۳۰-۲۰ (۱۰-۱۵) و در فاز غربی حدود ۴۰-۲۰ (۵-۰) واحد می‌باشد. در حالی که این مقدار روی اقیانوس اطلس (۶۰W-۰) در فاز شرقی حدود ۳۵-۵۰ (۲۰-۲۵) و در فاز غربی حدود ۵۰-۶۰ (۵۰-۳۰) واحد است.

با توجه شکل‌های ۹-الف و ب در هر فاز QBO علاوه بر اینکه تعداد شکست‌های واچرخندی امواج در عرض‌های



شکل ۱۰. میانگین شار نصف‌النهاری فعالیت موج ($m^3 s^{-3}$) در لایه ۱۵۰-۳۰۰ hPa برای شکست چرخندی (قرمز) و واچرخندی (آبی) امواج در هفت ناحیه از غرب اقیانوس اطلس تا غرب آسیا در فاز (الف) غربی (ب) شرقی QBO.

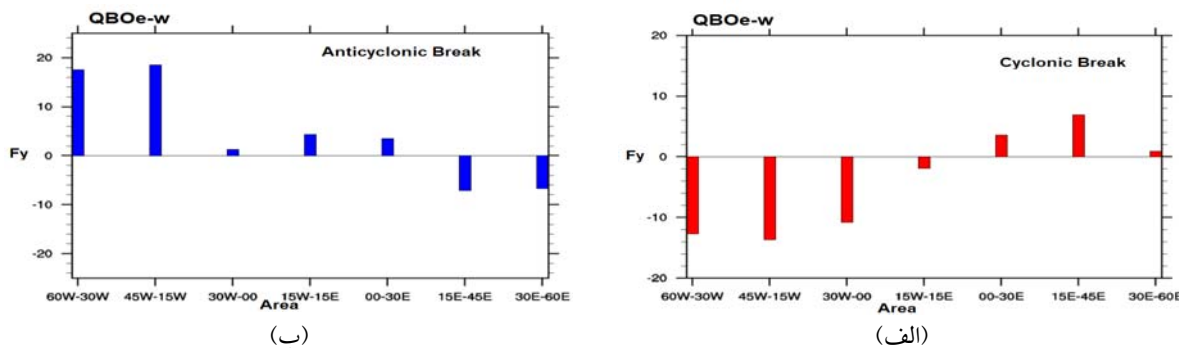
در فاز شرقی نسبت به فاز غربی، شار قطبسو افزایش می‌یابد (شکل ۱۱-الف). تقویت پشته در بالادست ناوه روی دریای مدیترانه سبب تقویت ناوه در عرض‌های بالاتر و افزایش شار قطبسوی فعالیت موج درورددسپهر زبرین می‌شود (شکل‌های ۶-الف و ۸-الف).

مطابق شکل ۲-ب، گردش ثانویه ناشی از جت حاره شرقی وابسته به QBO سبب جابه‌جایی قطبسوی جت جنب‌حاره به عرض‌های بالاتر می‌شود. همچنین مطابق اثر هوتلتون-تن (HTE) در فاز شرقی QBO، امواج راسبی به عرض‌های بالاتر و در فاز غربی به عرض‌های پایین‌تر جابه‌جا می‌شوند (بریسیک و کرزن‌ماخر، ۲۰۱۷). دامنه امواج روی اقیانوس اطلس (۰-۶۰W) در فاز شرقی نسبت به فاز غربی کاهش می‌یابد و بهمراه آن شار نصف‌النهاری فعالیت موج ناشی از شکست کمتر می‌شود و در نتیجه شکست امواج روی اقیانوس اطلس در فاز شرقی QBO، ضعیف‌تر از شکست امواج در فاز غربی است. روی شرق دریای مدیترانه و غرب آسیا (۶۰-۱۵E)، در فاز شرقی نسبت به فاز غربی QBO، پرارتفاع اوراسیا در پایین‌دست ناوه تقویت می‌شود که سبب کاهش ارتفاع و نفوذ ناوه به عرض‌های پایین‌تر می‌شود (شکل ارائه نشده است) و بهمراه آن شار نصف‌النهاری فعالیت موج ناشی از شکست در فاز شرقی نسبت به فاز غربی بیشتر می‌شود. درنتیجه شکست امواج روی شرق مدیترانه و غرب آسیا در فاز شرقی QBO، قوی‌تر از شکست امواج در فاز غربی است. اما روی غرب دریای مدیترانه (۳۰-۰E) در عرض‌های N۵۰-۲۰، شار نصف‌النهاری ناشی از شکست چرخندی (چرخندی) در فاز شرقی ضعیف‌تر (قوی‌تر) از شکست امواج در فاز غربی است عوامل دیگری در آن نقش دارند که در فصل بعد به قسمتی از آنها اشاره می‌شود.

شکل ۱۱-ب نشان می‌دهد که میزان شار استواسوی فعالیت موج (۴۰N) در شکست چرخندی امواج در فاز شرقی نسبت به فاز غربی QBO، روی شرق مدیترانه و غرب آسیا (۶۰-۱۵E) حدود ۵ واحد بیشتر و روی غرب مدیترانه واقیانوس اطلس (۶۰W-۳۰E) حدود ۲۰-۵ واحد کمتر است. همچنین با توجه به شکل ۱۱-الف میزان شار قطبسوی فعالیت موج در عرض N ۴۰ در شکست چرخندی امواج در فاز شرقی نسبت به فاز غربی، روی مدیترانه و غرب آسیا (۶۰-۰E) حدود ۶-۲ واحد بیشتر و روی اقیانوس اطلس (۶۰W-۱۵E) حدود ۱۵-۱۰ واحد کمتر است.

مطابق شکل ۱۱-ب در QBOe-QBOW روی اقیانوس اطلس و غرب دریای مدیترانه (۶۰W-۱۵E)، شار استواسوی فعالیت موج در شکست چرخندی امواج کاهش می‌یابد. در فاز شرقی نسبت به فاز غربی ارتفاع ناوه افزایش و بهمراه آن فعالیت موج کاهش می‌یابد (شکل‌های ۶-ب و ۸-ب). درنتیجه بهمراه ضعیف شدن امواج، سازوکار شکست چرخندی نیز ضعیف می‌شود. اما روی شرق مدیترانه و غرب آسیا (۶۰-۱۵E)، شار استواسو افزایش می‌یابد (شکل ۱۱-الف). همچنین بهمراه با تقویت پشته روی اوراسیا، ناوه B تقویت می‌شود و درنتیجه شار استواسوی فعالیت موج در وردسپهر زبرین افزایش می‌یابد (شکل‌های ۶-الف و ۸-الف).

مطابق شکل ۱۱-الف در QBOe-QBOW، شار قطبسوی فعالیت موج در شکست چرخندی امواج روی اقیانوس اطلس (۰-۶۰W) کاهش می‌یابد. در فاز شرقی نسبت به فاز غربی ارتفاع ناوه افزایش و بهمراه آن فعالیت موج کاهش می‌یابد (شکل ۶-الف و ۸-الف). درنتیجه بهمراه تضعیف امواج، سازوکار شکست چرخندی نیز ضعیف می‌شود. اما روی منطقه مدیترانه و غرب آسیا (۶۰-۰E)،



شکل ۱۱. اختلاف شار نصف‌النهاری فعالیت موج ($m^3 s^{-2}$) بین فازهای شرقی و غربی QBO در لایه $3000-1500$ هکتوپاسکال و عرض $40^\circ N$ برای (الف) شکست چرخندی (ب) شکست واچرخندی امواج در هفت منطقه از غرب اقیانوس اطلس تا غرب آسیا.

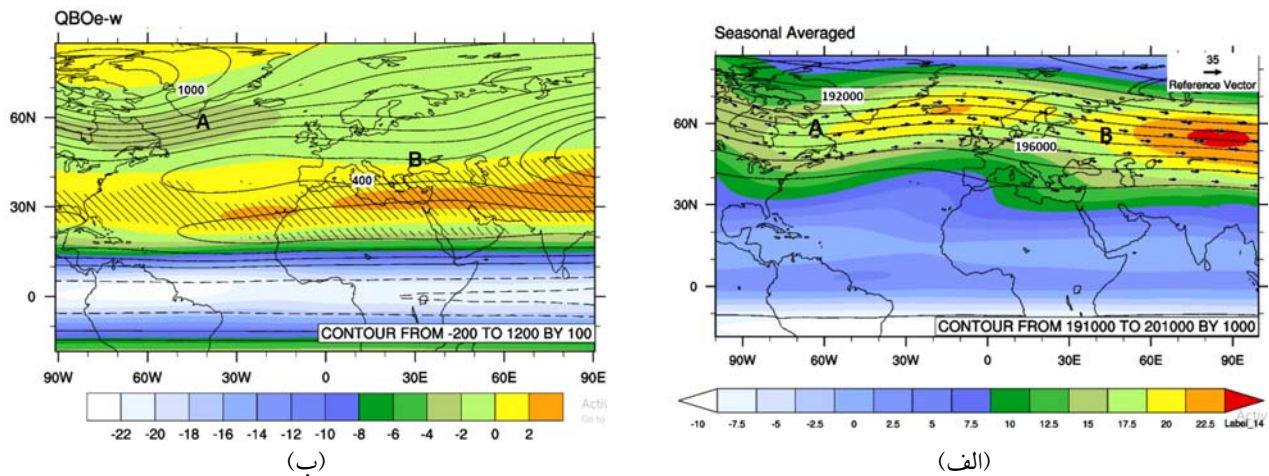
جريان افقی روی اقیانوس اطلس و اروپا تا حدود $5 m/s$ کاهش دارد. در عرض‌های جنوب حاره روی ایران، مدیترانه و مرکز اقیانوس اطلس در لبه تاوه قطبی سرعت مداری تا حدود $5 m/s$ افزایش دارد و به نظر می‌رسد همان‌طور که وايت و همکاران در سال 2015 نشان دادند در فاز شرقی QBO، تاوه قطبی ضعیف و جت‌ها در لبه آن به عرض‌های بالاتر جابه‌جا می‌شوند. به همراه افزایش ارتفاع تاوه قطبی در تراز $50 hPa$ ، سرعت مداری در عرض‌های بالاتر از $45^\circ N$ کاهش می‌باید ولی مطابق نظر گارفینکل و هارتمن (2011) به همراه تقویت گردش ثانویه ناشی از حفظ توازن بادگرمایی وابسته به جت حاره شرقی وابسته به QBO، جت جنوب حاره در پوشن‌سپهر نیز نسبت به فاز غربی تقویت می‌شود.

مشابه روش به کار رفته توسط سولمن و پلوانی (2016) سطح معنی داری داده‌های میانگین سرعت در تراز $50 hPa$ در فازهای شرقی و غربی QBO محاسبه شده است نتایج نشان داد که افزایش سرعت مداری در جنوب حاره (ناحیه هاشورخورده در شکل ۱۲-ب) معنی دار نیست. بهیان دیگر جت‌های جنوب حاره در تراز $50 hPa$ در فاز شرقی همواره تقویت نمی‌شوند (شکل ۱۲-ب). ولی در شکست امواج سطح اعتماد برای اختلاف میانگین‌های سرعت در فازهای شرقی و غربی QBO در تمام نواحی به بیشتر از 95 درصد می‌رسد. یعنی نتایج به دست آمده در شکست امواج قابل اطمینان هستند (شکل‌های ۱۴-الف و ب).

۵. بررسی جت‌های پوشن‌سپهر در فازهای شرقی و غربی QBO

۵-۱. میانگین ارتفاع و بادمداری تراز 50 هکتوپاسکال شکل ۱۲-الف میانگین فصلی ارتفاع ژئوپتانسیلی و سرعت افقی در تراز $50 hPa$ در ماههای نوامبر تا مارس بین سال‌های $1979-2018$ را نشان می‌دهد، مطابق این شکل ناوه A روی آمریکای شمالی، یک پشه روی اقیانوس اطلس و ناوه B روی اروپا و دریای مدیترانه قرار دارد. در عرض‌های $60-40^\circ N$ جت در پایین دست ناوه A روی شمال اقیانوس اطلس ($23 m/s$) و همچنین در پایین دست ناوه B روی شرق اروپا و اوراسیا ($25 m/s$) و در عرض‌های $N 15-5$ جت جنوب حاره شرقی (subtropical easterly jet, SEJ) میانگین فصلی جت حاره در تراز $50 hPa$ روی اروپا و غرب آسیا به صورت جت غربی با بیشینه سرعت $5 m/s$ روی اقیانوس اطلس دیده می‌شود.

با توجه به شکل ۱۲-ب، اختلاف میانگین ارتفاع ژئوپتانسیلی و سرعت افقی در فاز شرقی نسبت به فاز غربی QBO دارای یک مرکز با بیشینه سرعت $20 m/s$ روی اقیانوس اطلس است و سرعت نسبی روی اقیانوس هند و جنوب آفریقا حدود $15 m/s$ است. در فاز شرقی QBO نسبت به فاز غربی، در عرض‌های میانی ارتفاع تاوه قطبی حدود 400 تا 1200 ژئوپتانسیل افزایش و سرعت



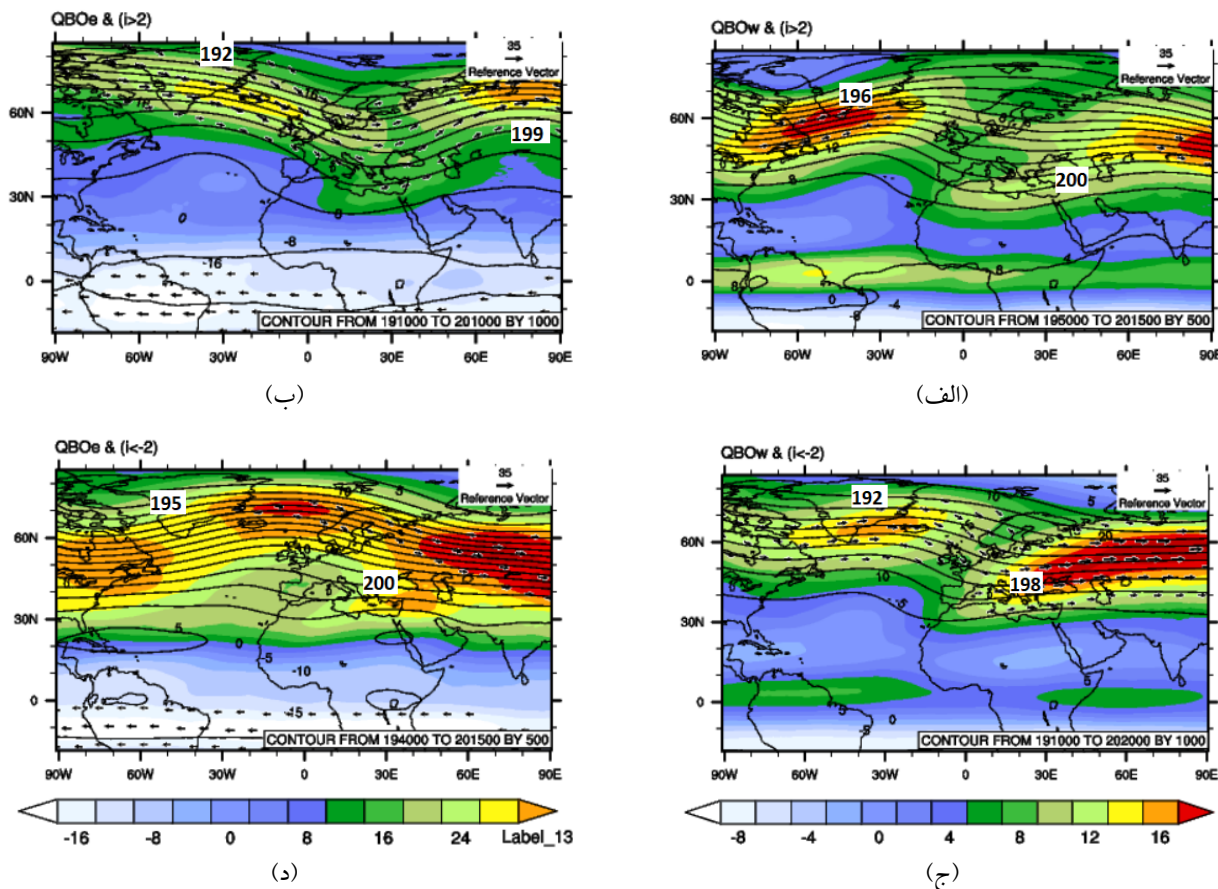
شکل ۱۲. مشابه شکل ۱ ولی برای تراز ۵۰ hPa

سرعت جت در پایین دست ناوه روی شرق دریای مدیترانه حدود ۱۵ (۲۵) متر بر ثانیه است و سرعت جت در بالادست ناوه روی غرب اروپا حدود ۱۵ (۲۵) متر بر ثانیه می باشد.

با توجه به شکل ۱۲-الف سرعت جت حاره شرقی وابسته به QBO در شکست چرخندی روی جنوب آمریکا به بیشینه خود در حدود ۲۰ متر بر ثانیه است. این در حالی است که روی جنوب غرب اقیانوس هند جریان غربی با سرعت ۵ متر بر ثانیه وجود دارد و مطابق شکل ۱۲-ج در شکست واچرخندی جت شرقی حاره از جنوب آمریکا تا جنوب اقیانوس هند با بیشینه حدود ۱۵ متر بر ثانیه شکل می گیرد. با توجه به شکل های ۱۲-ب و ۱۲-ج در عرض های حدود ۲۰-۱۰ N، جت شرقی جنب حاره (SEJ) با بیشینه سرعت ۱۰ متر بر ثانیه شکل می گیرد (هیچمن و هاسمن، ۲۰۰۹) و در عرض های حاره حدود ۵S-۵N، جت غربی حاره وابسته به QBO در شکست واچرخندی (چرخندی) روی جنوب آمریکا با بیشینه ۱۰ (۲۵) متر بر ثانیه و روی جنوب اقیانوس هند با بیشینه ۵ متر بر ثانیه شکل می گیرند.

۲-۵. ارتفاع و بادمداری تراز ۵۰ هکتوپاسکال در شکست امواج

شکل ۱۳ ارتفاع ژئوپتانسیلی همراه با سرعت جت (۵۰ هکتوپاسکال) در چهار حالت شکست واچرخندی و چرخندی امواج در فاز شرقی و غربی QBO را نشان می دهد. مطابق شکل های ۱۲-ب و ۱۲-ج در شکست واچرخندی امواج در وردسپهر زبرین ۱۵۰-۳۰۰ hPa و در فاز شرقی (غربی) QBO، در پوشش سپهر زیرین دو ناوه روی شمال شرق اروپا و آمریکا و یک پشتہ روی شرق اقیانوس اطلس در تاوه قطبی (۵۰ هکتوپاسکال) مشاهده می شود. ناوه روی شمال شرق اروپا محور شمال شرقی-جنوب غربی داشته و تا روی دریای مدیترانه کشیده می شود. در پایین دست ناوه روی شرق اروپا و مدیترانه سرعت جت قطبی حدود ۱۵ (۲۵) متر بر ثانیه و در پایین دست ناوه روی شمال شرق آمریکا بیشینه سرعت جت حدود ۲۵ (۱۵) متر بر ثانیه می باشد. در شکست چرخندی و فاز شرقی (غربی) QBO دو پشتہ روی شمال اقیانوس اطلس و شرق اوراسیا شکل می گیرد و ناوه ای روی شرق اروپا با محور نصف النهاری تا شرق دریای مدیترانه کشیده می شود.



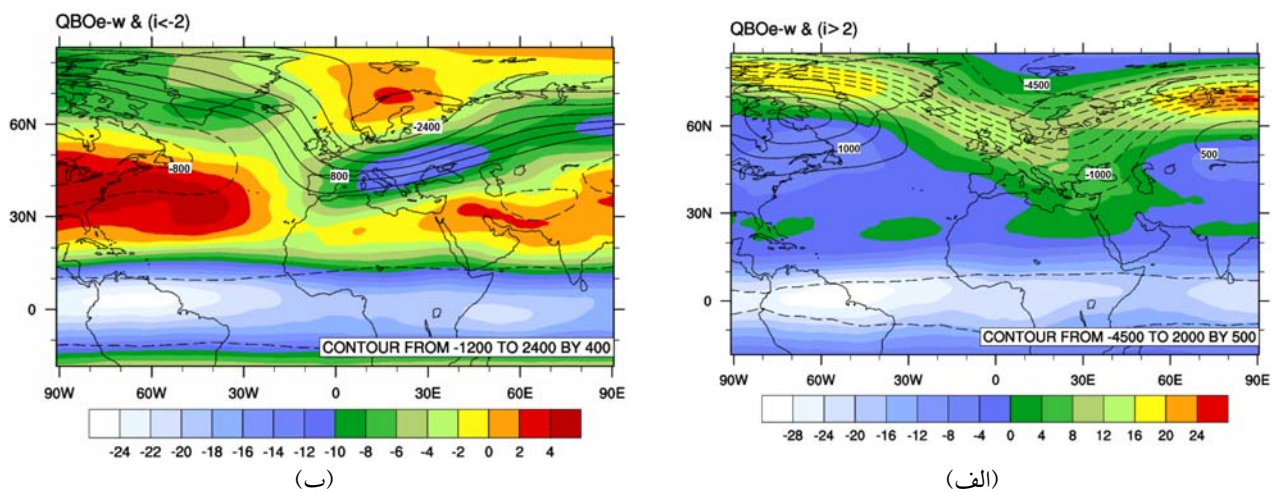
شکل ۱۳. مشابه شکل ۳ ولی برای تراز ۵۰ hPa

۲۰ تا ۲۵ متر بر ثانیه نسبت به فاز غربی تقویت می شود (شکل ۱۴-ب).

در شکست چرخندی امواج اروپا و فاز شرقی نسبت به فاز غربی، کاهش ارتفاع ناوه روی اروپا تا ۴۰۰۰ ژئوپتانسیل با تقویت پشتہ ها روی شرق اور آسیا حدود ۸۰۰ ژئوپتانسیل و روی غرب اقیانوس اطلس تا حدود ۱۵۰۰ ژئوپتانسیل همراه می باشد. با تقویت ناوه روی جنوب (شمال) اروپا سرعت مداری حدود ۱۵ (۵) متر بر ثانیه افزایش (کاهش) می یابد (شکل ۱۵-الف). همچنین جت جنوب حاره (30° - 20° N) روی شمال عربستان و اقیانوس اطلس تا حدود ۵ تا ۱۰ متر بر ثانیه تقویت شده و متناظر این مناطق در حاره (10° S- 10° N) جت حاره شرقی وابسته به QBO روی جنوب آمریکا و شرق اقیانوس هند تا ۳۰ تا ۲۵ متر بر ثانیه نسبت به فاز غربی تقویت می شود (شکل ۱۴-الف).

با توجه به شکل ۱۴-ب در شکست واچرخندی امواج روی اروپا در فاز شرقی نسبت به فاز غربی، افزایش ارتفاع پشتہ روی اروپا تا ۲۰۰۰ ژئوپتانسیل همراه با تقویت ناوه ها روی شرق ایران و هند حدود ۴۰۰ ژئوپتانسیل و روی غرب اقیانوس اطلس تا حدود ۸۰۰ ژئوپتانسیل می باشد. در شکست واچرخندی در فاز شرقی به همراه تقویت (تضعیف) پشتہ (ناوه) روی شمال غرب (جنوب غرب) اروپا سرعت مداری نسبت به فاز غربی حدود ۵ (۱۵) متر بر ثانیه افزایش (کاهش) می یابد.

در پایین دست ناووه های A و B جت جنوب حاره در دوناچیه روی شمال عربستان و اقیانوس اطلس تا حدود ۱۰ تا ۲۰ متر بر ثانیه تقویت می شود و متناظر همین مناطق در حاره (10° S- 10° N) جت شرقی حاره وابسته به QBO روی جنوب آمریکا و غرب اقیانوس هند با سرعت حدود



شکل ۱۴. مشابه شکل ۴ ولی برای تراز ۵۰ hPa

شمال آفریقا و دریای مدیترانه می‌شود (شکل‌های ۱۳ و ۱۴).

مطابق شکل ۲-ب همبستگی بین سرعت در جت حاره وابسته به QBO و جریان مداری تراز ۲۰۰ hPa نشان می‌دهد که جت‌های جنوب حاره (۲۰۰ hPa) در روی شمال‌غرب روى شمال‌شرق آفریقا و در QBOw روی شمال‌غرب آفریقا تقویت می‌شوند (شکل ۲-الف). در فرایند شکست امواج، جت‌های حاره وابسته به QBO، حدود ۱۰ متربرثانیه از حالت نرمال در هر فاز قوی‌تر هستند (شکل آورده نشده است) و جت‌های جنوب حاره نیز در مناطق متناظر با جت‌حاره شرقی وابسته به QBO، نسبت به نرمال در عرض بالاتری تقویت می‌شوند و از طرفی در شکست چرخندی، جت‌های جنوب حاره در عرض‌های بالاتری نسبت به شکست چرخندی تقویت می‌شوند (شکل‌های ۱۴-الف و ب). در نتیجه جت جنوب حاره در شکست واقعی و غربی، QBO، روی شرق اقیانوس اطلس و شمال‌غرب آفریقا و در شکست چرخندی و فاز غربی QBO، روی شمال‌شرق آفریقا و شمال عربستان تقویت می‌شود (شکل ۱۳).

با مقایسه شکل‌های ۴ و ۱۴ می‌توان دید که در فاز شرقی (غربی)، QBO در وردسپهر زبرین نیز، ارتفاع ناوه روی شرق (غرب) اروپا و شرق (غرب) مدیترانه کاهش و روی

با توجه به شکل ۱۴-ب می‌توان دید که در شکست چرخندی، جت‌حاره وابسته به QBO روی غرب اقیانوس اطلس و غرب اقیانوس هند تقویت می‌شود. متناظر آن در عرض‌های ۴۵-۳۰N جت جنوب حاره در آمریکای مرکزی و غرب اقیانوس اطلس و در ناحیه شمال عربستان و جنوب ایران تقویت می‌شود (شکل‌های ۱۳-ج و د). در شکل ۱۴-الف می‌توان دید که در شکست چرخندی، جت‌حاره وابسته به QBO روی اقیانوس اطلس و جنوب اقیانوس هند تقویت می‌شود. متناظر آن در عرض‌های ۳۰-۲۰N جت جنوب حاره روی اقیانوس اطلس و شبیه‌قاره هند تقویت می‌شود (شکل‌های ۱۳-الف و ب). بنا به شکل ۱۳، شکست امواج روی اروپا در فاز شرقی QBO، یک ناوه روی شرق اروپا و شرق دریای مدیترانه و در QBOw، یک ناوه روی غرب اروپا و غرب مدیترانه شکل می‌گیرد. به گونه‌ای که ناوه‌ها به ناحیه جنوب حاره روی دریای مدیترانه و شمال آفریقا نفوذ می‌کنند و در نتیجه جت جنوب حاره در پایین‌دست ناوه در فاز شرقی روی شمال‌شرق آفریقا و شمال عربستان و در فاز غربی روی شمال‌غرب آفریقا تشکیل می‌شود. جابه‌جای شرق‌سوی ناوه در فاز شرقی نسبت به فاز غربی QBO، سبب شکل‌گیری نواحی کاهش / افزایش سرعت مداری فاز شرقی نسبت به فاز غربی در جنوب حاره روی ناحیه

افرایش می‌یابد. درنتیجه شکست واچرخندی (چرخندی) امواج روی اروپا در فاز غربی (شرقی) قوی‌تر از فاز شرقی(غربی) QBO است (شکل‌های ۱۰-الف و ب).

ع. نتیجه‌گیری

در این مطالعه با استفاده از میانگین روزانه داده‌های بازتحلیل ERA-INTERIM برای ارتفاع ژئوپتانسیلی، دما، تاوایی پتانسیلی و سرعت افقی باد در ترازهای ۵۰، ۱۰۰، ۲۰۰، ۳۰۰ هکتوپاسکال، کمیت‌های فعالیت موج و شار فعالیت موج در دو حالت شکست واچرخندی و چرخندی امواج در عرض‌های $N = 50 - 20$ روی اروپا در دو فاز شرقی و غربی نوسان شبدهوالانه (QBO) برای زمستان‌های (۱۵ Nov-۱۵ Apr) سال‌های ۱۹۷۹-۲۰۱۸ محسوبه شده است. بررسی‌ها نشان داد که در شکست واچرخندی، ناوه شمال‌شرقی-جنوب‌غربی روی غرب مدیترانه و پشته در بالادست آن در عرض‌های بالاتر روی غرب اروپا و شرق اقیانوس اطلس تقویت می‌شوند. جت جنب‌حاره در عرض‌های حدود $N = 30 - 20$ در پایین دست ناوه روی شمال آفریقا و جت عرض میانی در عرض حدود $N = 50 - 40$ در پایین دست ناوه روی شرق اروپا شکل می‌گیرد. در بالادست ناوه نیز روی غرب اروپا یک جریان استواسو از شمال اروپا به روی غرب دریای مدیترانه شکل می‌گیرد. در شکست چرخندی ناوه با محور شمال‌غربی-جنوب‌شرقی روی شرق اروپا و پشته در بالادست آن در عرض پایین‌تری روی غرب مدیترانه تقویت می‌شود. جت جنب‌حاره در عرض حدود $N = 30 - 20$ در پایین دست آن روی شمال عربستان، جنوب ایران و پاکستان و جت عرض میانی در عرض‌های $N = 50 - 40$ در بالادست آن روی اروپا شکل می‌گیرد.

در QBOw سرعت باد در عرض‌های حدود $N = 20 - 30$ روی مرکز آمریکا، شمال‌غرب آفریقا و جنوب ایران نسبت به QBOe تقویت می‌شود و سرعت باد در عرض‌های بالاتر حدود $N = 50 - 40$ روی اقیانوس اطلس، جنوب اروپا و شمال ایران تضعیف می‌شود. مطابق نظر

غرب (شرق) مدیترانه افزایش می‌یابد که بهمراه آن سرعت جت در پایین دست ناوه روی شرق (غرب) مدیترانه افزایش و در غرب (شرق) آن کاهش می‌یابد. بنابراین در شکست امواج روی اروپا همراه با تقویت جت حاره شرقی وابسته به QBOe، جت جنب‌حاره در وردسپهر زبرین در غرب مدیترانه و شمال‌غرب آفریقا تضعیف و روی شرق مدیترانه و شمال‌عربستان تقویت می‌شود (شکل‌های ۳ و ۱۳).

باتوجه به شکل‌های ۱۴-الف و ۱۴-ج می‌توان مشاهده کرد که در شکست واچرخندی امواج با تقویت جت حاره شرقی وابسته به QBO، روی غرب اقیانوس اطلس پشته روی شرق اقیانوس اطلس نسبت به فاز غربی تقویت می‌شود و در پایین دست آن ناوه B روی اروپا نیز ضعیف می‌شود. این درحالی است که در فاز غربی با تضعیف جت جنب‌حاره روی اقیانوس اطلس و جابه‌جایی استواسو آن ناوه A در شمال آمریکا در عرض‌های پایین‌تر تقویت و جت عرض میانی و جت قطبی در راستای شمال‌غربی-جنوب‌شرقی در بالادست ناوه اروپا تقویت می‌شود (شکل‌های ۱۳-الف و ب). با توجه به شکل ۱۱ بهمراه تضعیف (تقویت) ناوه در وردسپهر زبرین، شار استواسوی فعالیت موج در لایه $150 - 300$ هکتوپاسکال افزایش می‌یابد درنتیجه شکست واچرخندی (چرخندی) امواج روی اروپا در فاز غربی (شرقی) قوی‌تر از فاز شرقی(غربی) QBO است (شکل‌های ۱۰-الف و ب).

باتوجه به شکل ۱۴ می‌توان مشاهده کرد که در شکست واچرخندی امواج با تقویت جت حاره شرقی وابسته به QBO، جت جنب‌حاره حدود ۵ تا ۱۰ متر بر ثانیه در عرض‌های $N = 35 - 45$ روی اقیانوس اطلس تقویت می‌شود. درنیجه، پشته روی شرق اقیانوس اطلس و بهمراه آن ناوه روی اروپا تقویت و جت قطبی در راستای شمال‌غربی-جنوب‌شرقی در بالادست ناوه اروپا تقویت می‌شود (شکل‌های ۱۳-الف و ب). با توجه به شکل ۱۱ بهمراه تضعیف (تقویت) ناوه در وردسپهر زبرین، شار استواسوی فعالیت موج در لایه $150 - 300$ هکتوپاسکال

روی اقیانوس اطلس، جت جنوب‌حراره نیز به عرض‌های بالاتر روی اقیانوس اطلس جابه‌جا و تقویت می‌شود و ارتفاع پشتہ روی شرق اقیانوس برخلاف ارتفاع ناوه کاهش می‌یابد و سرعت مداری در بالادست ناوه روی شمال‌غرب اروپا و شرق اقیانوس اطلس نسبت به فاز غربی افزایش می‌یابد. در شکست واچرخندی و فاز شرقی QBO، پشتہ‌ها و ناوه‌ها ضعیف شده و جریان نصف‌النهاری کاهش و جریان مداری افزایش می‌یابد در نتیجه شاراستواسوی فعالیت موج ناشی از شکست واچرخندی ضعیف می‌شود. در شکست واچرخندی امواج و QBOw، جابه‌جایی استواسوی جت عرض میانی و ترکیب آن با جت جنوب‌حراره در پایین دست ناوه همراه با تقویت ناوه روی شمال‌غرب آفریقا و غرب مدیترانه است. تقویت جت حراره غربی وابسته به QBO روی اقیانوس اطلس موجب جابه‌جایی استواسوی جت جنوب‌حراره به عرض‌های پایین‌تر روی اقیانوس اطلس شده و بدین ترتیب جت جنوب‌حراره در شرق اقیانوس اطلس و شمال‌شرق آفریقا در امتداد شمال‌شرقی-جنوب‌غربی در پایین دست ناوه قرار می‌گیرد. در QBOw به همراه کاهش ارتفاع ناوه روی اروپا، پشتہ روی شمال‌شرق اقیانوس اطلس و شمال‌غرب اروپا تقویت می‌شود. تقویت ناوه‌ها و پشتہ‌ها سبب افزایش جریان نصف‌النهاری در بالادست ناوه و در نتیجه شار استواسوی فعالیت موج ناشی از شکست واچرخندی تقویت می‌شود.

در فاز شرقی QBO، جت جنوب‌حراره در پایین دست ناوه با شکست واچرخندی، روی شمال‌شرق آفریقا و شمال عربستان و جت عرض میانی در پایین دست آن روی شرق اروپا شکل می‌گیرد، در حالی که در فاز غربی QBO، جت جنوب‌حراره روی شمال‌غرب آفریقا و مدیترانه تقویت و با جت عرض میانی در پایین دست ناوه روی جنوب‌شرق اروپا ترکیب می‌شود. بنابراین در فاز غربی روی مدیترانه و غرب اروپا شیب محور ناوه بیشتر و ارتفاع آن کمتر می‌شود. در نتیجه شار استواسوی فعالیت موج ناشی از شکست واچرخندی موج بیشتر و شکست واچرخندی موج در فاز غربی نسبت به فاز شرقی قوی‌تر است.

در شکست امواج در عرض‌های N ۵۰-۲۰ تحت تأثیر فازهای QBO می‌باشد. به طوری که شکست امواج روی اقیانوس اطلس (شرق دریای مدیترانه و غرب آسیا) در فاز شرقی QBO ضعیف‌تر (قوی‌تر) از شکست امواج در فاز غربی QBO است. ناوه‌ها در فاز شرقی ارتفاع بیشتری (کمتری) نسبت به فاز غربی QBO دارند. همچنین شار نصف‌النهاری فعالیت موج ناشی از شکست امواج در فاز شرقی کمتر (بیشتر) از فاز غربی QBO است. اما شکست امواج در غرب دریای مدیترانه (E ۳۰-۰) تحت تأثیر موقعیت جت‌حراره وابسته به QBO در شکست‌های واچرخندی و چرخندی شرایط متفاوتی دارد که در ادامه تشریح می‌شود.

در فاز شرقی QBO، جت جنوب‌حراره در پایین دست ناوه با شکست واچرخندی، روی شمال‌شرق آفریقا و شمال عربستان و جت عرض میانی در پایین دست آن روی شرق اروپا شکل می‌گیرد، در حالی که در فاز غربی QBO، جت جنوب‌حراره روی شمال‌غرب آفریقا و مدیترانه تقویت و با جت عرض میانی در پایین دست ناوه روی جنوب‌شرق اروپا ترکیب می‌شود. بنابراین در فاز غربی روی مدیترانه و غرب اروپا شیب محور ناوه بیشتر و ارتفاع آن کمتر می‌شود. در نتیجه شار استواسوی فعالیت موج ناشی از شکست واچرخندی موج بیشتر و شکست واچرخندی موج در فاز غربی نسبت به فاز شرقی قوی‌تر است.

در شکست واچرخندی امواج و QBOe، برای حفظ توازن باد گرمایی در مجاورت جت‌حراره شرقی وابسته به QBO روی غرب اقیانوس هند و جنوب‌شرق آفریقا یک گردش ثانویه شکل می‌گیرد که سبب تقویت جت جنوب‌حراره در پایین دست ناوه روی شمال عربستان و ایران می‌شود. همراه با تقویت جت‌حراره شرقی وابسته به QBO

اثر نوسان شبهدوسالانه QBO بر وردش سپهر برون حاره ای در اوایل زمستان از دیدگاه انرژی، م. پژوهش های اقلیم شناسی، ۲۳-۲۴.

سیفی، ز.، میرکنی، س.م.، جغتاوی، م. و محب الحجه، ع. ۱۳۹۷، بررسی اثر نوسان شبهدوسالانه QBO بر تاوه قطبی روی پوشش سپهر پایینی و میانی، م. ژئوفیزیک ایران، ۶۰-۶۷.

عباسزاده اقدم، ک.، محب الحجه، ع. و احمدی گیوی، ف. ۱۳۹۳، بررسی اثرهای اقلیم شناختی تاوه قطبی پوشش سپهر در منطقه جنوب غرب آسیا، م. فیزیک زمین و فضا، ۴، ۱۲۷-۱۳۸.

Anstey, J. A., Scinocca, J. F. and Keller, M., 2015, Simulating the QBO in an Atmospheric General Circulation Model: Sensitivity to Resolved and Parameterized Forcing. *J. Atmos. Sci.*, 73, 1043–1061.

Andrews, D. G., Holton, J. R. and Leovy, C. B., 1987, Middle Atmosphere Dynamics . International Geophysics Series, 40, 489.

Asbaghi, G., Joghataei, M. and Mohebalhojeh, A. R., 2016, Impacts of the QBO on the North Atlantic and Mediterranean storm tracks: An energetic perspective. *Geophysical Research Letters*. 44, 1-8.

Baldwin, M.P and Gray, L. J., Dunkerton, T. J., Hamilton, K., Haynes, P. H., Randel, W. J., Holton, J. R., Alexander, M. J., Hirota, I., Horinouchi, T., Jones, D. B. A., Kinnersley, J. S., Marquardt, C. and Sato., K., 2001, The quasi-biennial oscillation.2001 *J.Geophys.Res.* 39, 2, 179-229.

Braesicke, P. and Kerzenmacher, T., 2017, how robust is the Holton-Tan relationship? *J.Geophys.Res.* 19, 179-229.

Collimore, C. C., Martin, D. W., Hitchman, M. H., Huesmann, A. and Waliser, D. E., 2003, on the relationship between the QBO and tropical deep convection., 2003, *J. Climate*, 16, 2552–2568.

Dunkerton, T. J. and Baldwin, M. P., 1991, Quasi- biennial modulation of planetary-wave fluxes in the Northern Hemisphere winter. *J. Atmos. Sci.*, 48, 1043–1061.

Dunn-Sigouin, E. and Shaw, T. A., 2015, Comparing and contrasting extremestratatospheric events, including their coupling to the tropospheric circulation, *J. Geo. Res. Atmos.* 120, 4.

Edmon, H. J., Hoskins, B. J. and McHntyre, M.E., 1980, Eliassen-Palm cross-sections for the

فعالیت موج ناشی از شکست چرخندی موج نسبت به فاز غربی بیشتر است. در نتیجه شکست چرخندی ناوه B در فاز شرقی قوی تر از فاز غربی است. در شکست چرخندی امواج و QBOe، گردش ثانویه ناشی از حفظ توازن باد گرمایی در مجاورت جت حاره شرقی وابسته به QBO در ناحیه اقیانوس اطلس تا جنوب آفریقا، سبب جایه جایی قطب سو و تقویت جت جنوب حاره روی جنوب غرب اروپا و غرب دریای مدیترانه در بالادست ناوه می شود.

مراجع

- اسبقی، ق.، جغتاوی، م. و محب الحجه، ع. ۱۳۹۴، بررسی troposphere *J. Atmos.Sci.*37, 2600-2616.
- Esler, J.G. and Haynes, P.H., 1999, Mechanisms for Wave Packet Formation and Maintenance in Quasigeostrophic Two-Layer Model. *J. Atmos. Sci.* 56(15).
- Garfinkel, C.I., Dennis L. Hartmann, and Fabrizio Sassi., 2010, Tropospheric Precursors of Anomalous Northern Hemisphere Stratospheric Polar Vortices.*J. Climate*. 23(12), 3282-3299.
- Garfinkel, C.I. and Hartmann, D. L., 2011, The Influence of the Quasi-Biennial Oscillation on the Troposphere in winter in a Hierarchy of Models, *J. Atmos.Sci.*, 68, 1273-1289.
- Holton, J. R., and Tan, H.-C., 1980, The influence of the equatorial quasi-biennial oscillation on the global circulation at 50 mb. *J. Atmos. Sci.*, 37, 2200–2208.
- Holton, J. R. and Austin, J., 1990, The influence of the QBO on Sudden Stratosphere Warmings *J. Atmos. Sci.*, 48(4).
- Hauck, C. and Wirth, V., 2001, Diagnosing the Impact of Stratospheric Planetary Wave Breaking in a Linear Model. *J. Atmos. Sci.*, 58, 1357-1370.
- Hoskins, B. J. and Hodges, K.I., 2002, new perspectives on the Northern Hemisphere winter storm tracks *J. Atmos. Sci.*, 59, 1041-1061 .
- Hitchman, M. H. and Huesmann, A. S., 2006, a Seasonal Climatology of Rossby Wave Breaking in The 320–2000-K Layer. *J. Atmos. Sci.*, 64, 1922–1940.
- Hitchman, M. H. and Huesmann, A. S., 2009, Seasonal influence of the quasi-biennial oscillation on stratospheric jets and Rossby wave breaking. *J. Atmos. Sci.*, 66, 935–946.
- Kalnay, E., Kanamitsu, M., Kistler, R., Collins, W., Deaven, D., Gandin, L., Iredell, M., Saha,

- S., White, G., Woollen, J., Zhu, Y., Chelliah, M., Ebisuzaki, W., Higgins, W., Janowiak, J., Mo, K. C., Ropelewski, C., Wang, J., Leetmaa, A., Reynolds, R., Jenne, R. and Joseph, D., 1996, the NCEP/NCAR 40-year reanalysis project, *Bull. Am. Meteorol. Soc.*, 77, 437-72.
- Matsuno, T., 1970, Vertical propagation of stationary planetary waves in the winter Northern Hemisphere. *J. Atmos. Sci.*, 27, 871-883.
- Marshall, A. G. and Scaife, A. A., 2009, Impact of the QBO on surface winter climate. *J. Geophys. Res.*, 114, D18110.
- O. Sullivan, D. and Sulby, M.L., 1989, Coupling of the Quasi-biennial Oscillation and the Extratropical Circulation in the Stratosphere through Wave Transport. *J. Atmos.Sci.*, 47(5), 650-668.
- O Sullivan, D. and Yang, R.E., 1992, Modeling the Quasi-beinnial Oscillation Effect on the Winter Stratosphere Circulation., *J. Atmos.Sci.*, 49(24), 2437-2447.
- Palmer, T. N., 1981, Property of The Eliassen – palm Flux of The Planetary Scale Motion. *J. Atmos. Sci.*, 39, 992- 997.
- Shaw, T.A and Perlwitz, J., 2014, On the Control of the Residual Circulation and Stratospheric Temperatures in the Arctic by Planetary Wave Coupling. *J. Atmos., Sci.* 71. 1.
- Shepherd, T.G., 2014, Atmospheric circulation as a source of uncertainty in climate change projections. *Nature Geoscience.* 7, 703-708.
- Sandro, W. L., Matthes, K., Omrani, N., Harnik, N. and Wahl, S., 2016, Influence of the Quasi - Biennial Oscillation and Sea Surface Temperature Variability on Downward Wave Coupling in the Northern Hemisphere
- Solomon, A. and L. M. Polvani., 2016: Highly significant responses to anthropogenic forcings of the midlatitude jet in the Southern hemisphere. *Journal of Climate.* 29, 3463–3470.
- Wallace, J.M., Panetta, R. L. and Estberg, J., 1993, Representation of the Equatorial Stratospheric Quasi-Biennial Oscillation in EOF Phase Space. *J. Atmos. Sic.*, 50, 12.
- White, I.P and Mitchell, J. and Phillips, T., 2015, Dynamical Response to the QBO in the Northern Winter Stratosphere: Signatures in Wave Forcing and Eddy Fluxes of Potential Vortices. *J. Atmos. Sci.*, 72(12).
- Zhu, X., Yee., J.H., Talaat, E. R. and Mlynczak, M., 2008, Diagnostic Analysis of Tidal Winds and the Eliassen Palm Flux Divergence in the Mesosphere and Lower Thermosphere from TIMED/SABER Temperatures. *J Atmos. Sci.*, 65, 3840-3859.

Effect of Quasi-Biennial Oscillation (QBO) on the Rossby wave breaking over Europe and West Asia: wave activity aspects

Khodadi, M. M.¹, Azadi, M.^{2*}, Moradi, M.² and Ranjbar Saadat Abadi, A.²

1. Ph.D. Student, Atmospheric Science and Meteorological Research Center (ASMERC), Tehran, Iran
2. Associate Professor, Atmospheric Science and Meteorological Research Center (ASMERC), Tehran, Iran

(Received: 21 Aug 2020, Accepted: 29 Sep 2020)

Summary

In the present study, using the ERA-INTERIM reanalysis data for daily mean of geopotential height, temperature, horizontal wind speed and relative vorticity at 300, 200, 150, 100 and 50 hPa levels, the wave activity and wave activity flux for cyclonic and anticyclonic Rossby wave breaking events that occurred during the easterly and westerly phase of QBO, over Europe for the winter time 1979-2018, were calculated and analyzed. Results showed that during wave breaking events at latitudes around 20-50N are affected by QBO with easterly and westerly phases. As such, the wave breaking events over the Atlantics (east of the Meditranian and west of Asia) during QBOe are weaker (stronger) compared to those during QBOw. The amplitude of the troughs is larger (smaller) during QBOe compared to QBOw and meridional wave activity flux associated with the wave breaking events during the QBOe is smaller (larger) compared to QBOw. While the wave breaking events over the west of the Meditraniean (0-30 N), affected from the tropical jet stream associated with QBO, is different for anticyclonic and cyclonic wave breakings and is described briefly in the following.

During the anticyclonic wave breaking events in QBOe, the subtropical jet is shifted over north east of Africa and north of the Arabian Peninsula and a jet stream is formed at mid latitudes over the south east of Europe. While, in QBOw the subtropical jet stream is intensified over northwest of Africa and is merged with the mid latitude jet stream over southeast of Europe (White et al., 2015). Therefore, in the QBOw, over the Meditranian and west of Europe, the slope of the trough is increased and penetrates to lower altitudes. Consequently, the equatorward wave activity flux caused by anticyclonic wave breaking is increased and the anticyclonic wave breaking is stronger during QBOw compared to QBOe. During the anticyclonic wave breaking events in QBOe, the thermal wind balance is valid near the tropical jet stream associated with QBO over the west of the Indian Ocean and south east of Africa, as secondary circulation is formed that causes the intensification of the subtropical jet stream over north of the Arabian Peninsula and Iran, downstream of the trough. Along with the intensification of the tropical jet stream associated with QBOe over the Atlantics, the subtropical jet stream is shifted to higher latitudes and is intensified. Unlike the trough the altitude of the ridge over the east of the Atlantics is decreased and the zonal wind speed upstream of the trough over the north west of Europe and east of the Atlantics is increased. The Equatorward wave activity flux during the anticyclonic wave breaking events in QBOe is weakened. During the anticyclonic wave breaking events in QBOw, the equatorward shift of the mid latitude jet stream and its merge with the subtropical jet stream downstream of the trough is accompanied with the intensification of the trough over north west of Africa and east of the Mediterranean. Intensification of the jet stream associated with QBOw over the Atalantis causes the subtropical to be shifted equator ward and thus the subtropical jet stream over the east of the Atlantics and north of Africa is intensified and is tilted in the direction NW-SE. During QBOw, along with the penetration of the trough to lower altitudes over Europe, the ridge over the north east of the Atlantics and north of Europe is intensified. Intensification of troughs and ridges causes the intensification of upstream meridional flow and thus the equator ward of wave activity flux associated with anticyclonic wave breakings is increased.

During the cyclonic wave breaking events in QBOe, the subtropical jet is shifted over north east of Africa and north of the Arabian Peninsula and a jet stream is formed at mid latitudes over the Europe in the upstream of the trough. While, in QBOw the midlatitude jet stream is shifted equatorward and is merged with the subtropical jet stream over northwest of Africa. Therefore, in the QBOe, the slope of the trough is increased and penetrates to lower altitudes, over the Meditranian and East of Europe. Consequently, the poleward wave activity flux caused by the cyclonic wave breaking is increased and the cyclonic wave breaking is stronger during QBOe compared to QBOw. During the cyclonic Wave breaking events in QBOe, intensification of the tropical jet stream associated with QBOe over the Atalantis and south of Africa causes the subtropical jet to be shifted poleward and thus the subtropical jet stream over the west of the Mediterranean and southwest of Europe is intensified.

Keywords: Anticyclonic Wave Break, Cyclonic Wave Break, Wave Activity Flux, Quasi-Biennial Oscillation, Polar vortex.

* Corresponding author:

azadi68@hotmail.com